Este enempler comporde a nederie final de tese defendede pela alum Sr. Mann José Baldun e aprovada pela comessão polgadore Baldun e aprovada pela comessão polgadore 20 de Néver 1985

CARDOSO, Mauri José Baldini

Pt.98^{Cu}.02⁽¹¹⁰⁾ E Pt.98^{Cu}.02⁽¹¹¹⁾
COM TÉCINICAS SENSÍVEIS À SUPERFÍCIE
(TDS, AES E LEED).

IF - UNICAMP - MESTRADO EM FÍSICA, 1985

ESTUDO DE DESSORÇÃO DE CO SOBRE

Pt.98^{Cu}.02⁽¹¹⁰⁾ E Pt.98^{Cu}.02⁽¹¹¹⁾

COM TÉCNICAS SENSÍVEIS À SUPERFÍCIE

(TDS, AES E LEED).

TESE POR

MAURI JOSÉ BALDINI CARDOSO

ORIENTADOR

RICHARD LANDERS

REQUISITO PARCIAL PARA OBTENÇÃO

DO GRAU DE

MESTRE EM FÍSICA

UNIVERSIDADE ESTADUAL DE CAMPINAS

INTITUTO DE FÍSICA

CAMPINAS SÃO PAULO

1985

(SUBMETIDA EM 03 DE MAIO DE 1985)
UNICAMP
BIBLIOTECA (ENTRAI

'In memoriam', ao prof. John David Rogers, meu orientador até seu falecimento. Ao prof. Richard Landers, que acompanhou este trabalho desde seu início, pela sua amizade, constante presença e colaboração. Ao prof. V.S.Sundaram, por suas preciosas sugestões e participa - ções. Ao prof. Bernardo Laks, por sua amizade, incentivo/ e proveitosas discussões. Aos demais professores do Grupo Física de Superfícies. À Kimie, Idalício, Terezinha, Roberto, Silvana e Rita, pela amizade e colaborações contantes. Aos meus amigos, pelo apoio e incentivo. À Fapesp, / pelo apoio financeiro. A todos que de alguma maneira cola boraram para a realização deste trabalho. E, em especial, aos meus pais.

TUDO ACHANDO TÃO SIMPLES E ÓBVIO
O MAIOR FILÓSOFO
QUE NO MUNDO VIVEU
NADA DISSE, NEM ESCREVEU

Estudamos a dessorção de CO de superfícies orientadas nas direções cristalográficas (110) e (111) da liga homogênea Pt_{.98}Cu_{.02} com técnicas sensíveis à superfície.

Utilizamos a dessorção térmica programa da (TDS), com a possibilidade de várias taxas de aquecimento da amostra, juntamente com a espectroscopia de elétros Auger (AES) e a difração de elétrons de baixa/energia (LEED) com o objetivo de incrementar o conhecimento do processo de dessorção de CO adsorvido à temperatura ambiente sobre as faces (110) e (111) da liga Pt.98^{Cu}.02.

Com a espectroscopia de elétrons Auger monitoramos a composição de superfície das amostras, sua limpeza e possíveis segreações do volume para a su perfície da amostra. Através dos diagramas LEED verificamos a geometria das superfícies, sua cristalinidade e limpeza. Utilizando a dessorção térmica programada obtivemos informções sobre os parâmetros cinéticos de dessorção, energia de ativação de dessorção e fator pré exponencial, os quais foram derivados a partir da taxa de dessorção de CO adsorvido à temperatura ambiente so bre as faces monocristalinas estudas.

Este conjunto de experimentos permitiu que fosse determinado a energia de ativação de dessorção e o fator pré-exponencial de CO adsorvido sobre Pt.98Cu.02(110)1X3 limpa, Pt.98Cu.02(111)1X1 limpa, Pt.98Cu.02(110)1X2 + Si e Pt.98Cu.02(110)1X2 + 'sputte ring', com suas superfícies bem caracterizadas com respeito à sua composição de superfície e à sua estrutura cristalina de superfície em condições de UHV.

INDICE

DEDICATÓRIA	1ii
AGRADE CIMENTOS	iv
RES UMO	v i
1. INTRODUÇÃO	2
1.1 CATÁLISE BIMETÁLICA E QUIMISSORÇÃO	6
1.2 SISTEMA EXPERIMENTAL-TECNICAS DISPONÍVEIS	14
1.3 AMOSTRAS ESTUDADAS	18
2. ESPECTROSCOPIA DE ELÉTRONS AUGER (AES)	23
2.1 INTRODUÇÃO	23
2.2 ASPECTOS BÁSICOS-TRANSIÇÃO AUGER	25
2.2.1 DISTRIBUIÇÃO DE ENERGIA DOS ELÉTRONS	
SECUNDÁRIOS	25
2.2.2 PROCESSO AUGER	28
2.3 EXPERIMENTAL	31
2.3.1 ANALISADOR DE ENERGIA	32
2.3.2 COLETA E ANÁLISE DO DADOS	34
2.3.3 PROFUNDIDADE DE ESCAPE	37
2.3.4 ANĀLISE QUALITATIVA E QUANTITATIVA	39
2.4 RESULTADOS	41
3. DIFRAÇÃO DE ELÉTRONS DE BAIXA ENERGIA	47
3.1 INTRODUÇÃO	47
3.2 ASPECTOS BÁSICOS	49
3.3 EXPERIMENTAL	54
3.4 RESULTADOS	55

4. DESSORÇÃO TÉRMICA PROGRAMADA	60
4.1 INTRODUÇÃO	60
4.2 TRATAMENTO DOS ESPECTROS DE DESSORÇÃO	62
4.3 DESSORÇÃO TÉRMICA PROGRAMADA	
MÉTODO DE REDHEAD	6 4
4.3.1 DETERMINAÇÃO DA COBERTURA DE GASES	
ADSORVIDOS	65
4:3.2 DETERMINAÇÃO DOS PARÂMETROS CINÉTICOS	
DE UM ESPECTRO DE DESSORÇÃO TÉRMICA	69
4.3.3 ORDEM DA REAÇÃO DE UM PROCESSO DE	
DESSORÇÃO TĒRMICA	71
4.3.4 ENERGIA DE ATIVAÇÃO DE DESSORÇÃO E	
FATOR PRÉ-EXPONENCIAL	73
4.4 EXPERIMENTAL	75
4.5 RESULTADOS	78
5. ANALISE DOS DADOS	90
6. CONCLUSÕES	95
7. REFERÊNCIAS	98
	•
, , , , , , , , , , , , , , , , , , ,	,

Pt.98^{Cu}.02⁽¹¹⁰⁾ E Pt.98^{Cu}.02⁽¹¹¹⁾
COM TÉCNICAS SENSÍVEIS À SUPERFÍCIE
(TDS, AES E LEED).

1. INTRODUÇÃO

Somente cerca de um em cada 10 atomos reside próximo à superfície de um cristal macroscópico.

A despeito disto, as superfície desempenham um papel/importante na compreensão física de efeitos tais como a quimissorção, o potencial de contato, a emissão termo-iônica e efeito foto-elétrico. Os experimentos em ciência de superfície fornecem ainda poderosas informações para muitos campos de importância tecnológica/tais como catálise, corrosão e dispositivos semicondu tores. As superfície, e um específico um interface bi-dimencional sólido-gás, constituem uma fase distinta da matéria condensada como propriedades unicas e que/se esta no princípio de su comprensão (Figuras 1 e 2)

Ao se estudar ps fenômenos de superfí-/
cie muitas questões levantam-se a seu respeito, tais /
como que espécies atômicas estão presentes?', 'qual -/
seu arranjo estrutural?', 'em que sítios estão absorvi
das?', ' qual sua energia de ligação?' e ' como seus e
létrons de valência estão distribuidos no espaço e em e
nergia?'.

No estudo da matéria as partículas com as quais mais usualmente trabalhamos são os elétrons e fotons, podendo-se também estuda-la com neutrons, fons ou protons (Figura 3). De uma forma geral, fotons ou / elétrons com condições iniciais bem definidas são inci

didos sobre a amostra que se quer estudar. De sua interação, são emitidos da amostra partículas que são coletadas e analizadas, sch condições definidas, segundo as/
técnicas espectroscópicas que se use e os objetivos que
se tenham.

Utilizamos a espectroscopía de dessorção térmica programada (TDS) juntamente com as espetrosco-/ pia de elétrons Auger (AES) e a difração de elétrons de baixa energia (LEED) com o objetivo de aprimorar o co-/ nhecimento do processo de adsorção de gases (CO) so-/ bre superfícies bi-metálicas bem orientadas e caracterizadas (Pt .98^{Cu}.02⁽¹¹⁰⁾ e Pt .98^{Cu}.02⁽¹¹¹⁾)

Processos como hidrogenação e oxidação / de CO cataliticamente ativado por um metal ou liga são de grande importância industrial (1 e 4) e ainda não es tão bem compreendidos em sua bases físicas (2). O estudo de ligas catalicamente ativas em tais processos apresenta grande interesse do ponto de vista de física básica tendo processos e facetas que envolvem varios ramos/da ciência (3). A compreensão destes fenômenos deve conter um entendimento dos processo de adsorção e desorção da melécula em estudo. Para isto estudamos a quimissorção de CO em doses conhecidas adsorvido em superfícies/limpas e bem caracterizadas.

Objetivamos com este estudo oferecer uma maior quantidade de dados com intuito de chegar a com-/ preender a influência de quantidades pequenas de dopantes metálicos em metais (Cu diluido homogeneamente em /

Pt) nos processos de quimissorção de CO.

Relativamente, poucos estudos já foram / efetuados em ligas Pt-Cu, moncristalinas ou não (5-12). Utilizamos pela primeira vez no estudo de ligas mono-// cristalinas de Pt-Cu a espectroscopia de dessorção térmica programada com possibilidade de várias taxas de -/ aquecimento da amostra (em uma região de 10²) (13), o/ que nos permite obter o valor do fator pré-exponencial e calcular, sem necessidade de fixar arbitrariamente um valor para o fator pré-exponencial, a energia de ativação de dessorção E_d para um estado de dessorção.

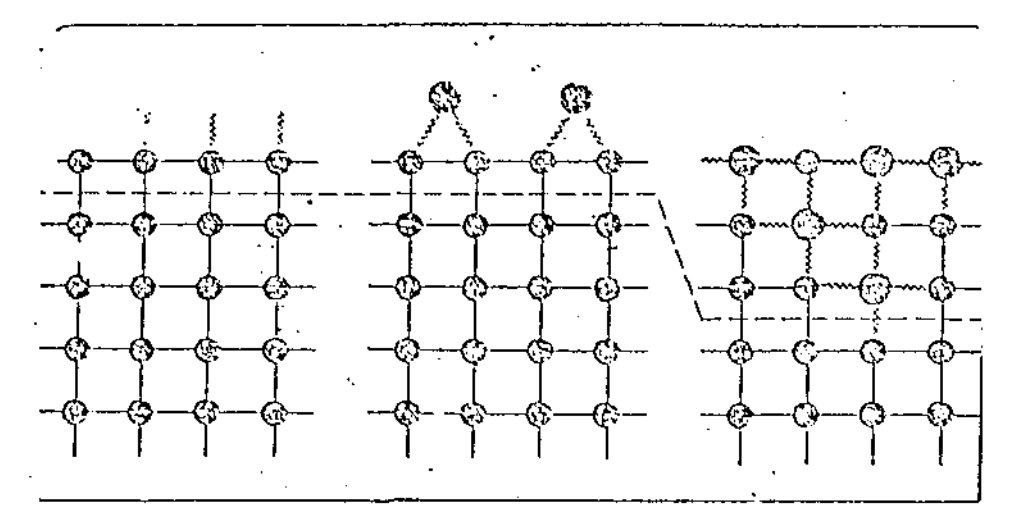


Figure 1 - Superfício do um cristal aproxentando tros tipos de complexos superficieis.
As esforas monores são es áteros do "volume"
de róde e es esforas moiores são es átemos
ou molúculas adservidos na superfícia ou
adservidos dentro da região superficial. As
linhas quebradas denotam as ligações de valência associadas com a superfícia.

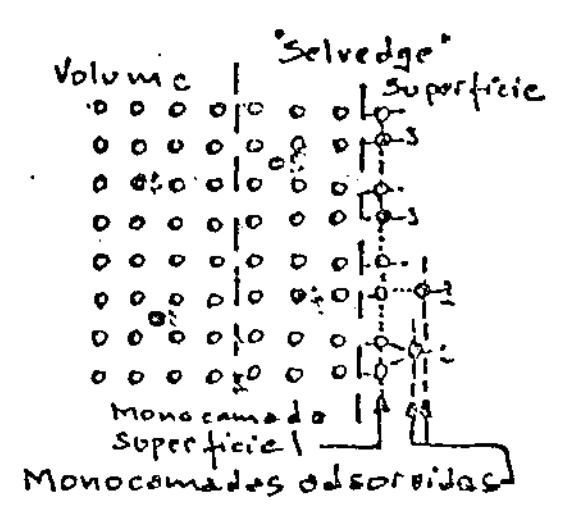


Figura 2 - Corte de um cristal detelhando as regiões próximas à superfície, bem como as várias maneiras que átomos estranhos adsorvem no cristal.

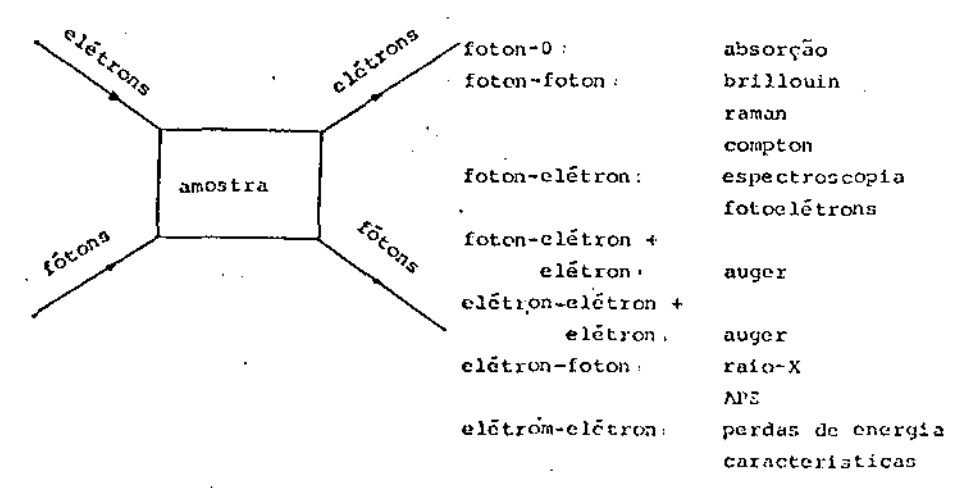


Figura 13. Diagrama esquemático dos métodos espectroscópicos envolvando fótons e elétrons.

1.1 CATÁLISE BI-METALICA E QUIMISSORÇÃO

O fenômeno físico-químico catálise, de / grande importância industrial, embora não compreendido completamente sob um ponto de vista bástco, é utilisado ordinariamente de forma empírica.

Um catalisador ou elemento cataliticamen te ativo é uma substância que altera a velocidade de -/ uma reação físico-química sem entretanto alterar o equibrio desta reação. Sua atuação se dá tanto no sentido / direto como no sentido de reveter a reação. Em ambos os sentidos, o catalisador altera a velocidade com que se realiza areação por mesmo fator, de forma que permanece inalterada a razão dos coeficientes de velocidade da -/ reação que é definido como uma constante de equilíbrio. Assim.

$$K = \frac{K_{d}}{K_{r}} = \frac{K_{d}^{i}}{K_{r}^{i}}$$
 (1.1)

onde K e K' são os coeficientes de velocidade na ausência e na presença de um catalisador respectivamente (14).

Uma reação catalítica consiste numa se-/
quência de reações nas quais esta envolvido um catalisa
dor. O catalisador entra numa reação catalítica como -/
reagente e, ao final dela, aparece como um produto mantendo sua condições características iniciais inalteradas
desde que não ocorra envenenamento (2). A soma das reações individuais, cada qual multiplicada por um número/
estequiométrico adequado, resulta a equação estequiomé-

trica final da reação.

O catalisador fornece um mecanismo alternativo para que a reação ocorra abaixando a energia de ativação para a reação, permitindo que ela ocorra a uma taxa mais elevada com um menor dispêndio de energia. - Por exemplo, a energia de ativação para a reação homogênea não catalisada 2HI+H2 + I2, a energia de ativação é de 44 Kcal/mole, enquanto que quando a reação é catalisada por Au é de 25 Kcal/mole e, quando catalisada // por Pt, a energia de ativação da reação é somente 14 // Kcal/mole.

As reações catalicamente ativadas, de in teresse industrial, são em sua maioria as reações heterogêneas, na qual o catalisador se encontra numa fase diferente daquela dos reagentes e a reação ocorre na in terface dos dos meios. Estudamos em específico, processos nos quais o catalisador se encontra na fase sólida/ e os reagentes na fase (gasosa . Alguns dos processos / físico-químicos industriais nos quais catalisadores par ticipam ativamente são a quebra de moléculas em petro-/ química, alcool-química, hidrogenação, conversão de nitrogênio em amônia, processos elétro-químicos, eliminação de gases poluidores e outras mais. Apesar de largamente utilizados, a obtenção de catalisadores permane-/ ce como uma ciência (arte) altamente empírica, baseada/ no 'método' de tentativas com acertos e erros e com / / grande parte das pesquisas protegidas por patentes industriais (15).

Os catalisadores industriais são em sua/
majoria suportados em material poroso. Este sistema no /
qual ocorre a reação catalítica possui muitas variáveis,
é descrito fenomenologicamente e seu estudo a partir de
leis fundamentais é quase impraticavel(16). Assim, procuramos estudar um metal monocristalino catalicamente /
ativo em um sistema bem controlado, à pressão de 10⁻¹⁰Torr, estudando amostras cuidadosamente limpas e caracterizadas através de técnicas físicas sensíveis à super
fície.

Alguns metais nobres e de transição tais/
como Fe,Co, Cu, Ni, Ag, Pt, Pd, e Ru, são utilizados em
processos cataliticamente ativados. De uma forma geral,
um catalisador industrial é composto de uma liga envolvendo vários destes metais, e inclusive, outros não -/
cataliticamente ativos(15). Não é comum um metal puro ser
ativo em diferentes processos cataliticamente ativados.
Ligas destes catalisadores objetivam o provimento de -/
uma maior atividade e/ou seletividade catalítica para/
uma determinada reação.

Assim, o estudo de ligas bimetálicas é - de grande interesse, não só de um ponto de vista básico como também por possibilitar uma melhor compreensão do fenômeno catálise.

A reação catalizada ocorre na superfície do catalisador, sobre a qual esta adsorvido um ou mais/ dos reagentes envolvidos no processo. Dentre as várias/ etapas envolvidas em uma reação catalisada por sólidos,

a adsorção e dessorção dos gases reagentes sobre a super fície ativa, destaca-se por sua importância e por poder ser ramoãvelmente bem estudada.

O fluxo de meléculas gasosas F, que incidem sobre uma superfície de uma amostra.por cm² e por / segundo é proporcional à pressão do gás e a partir da / teoria cinética dos gases é dado por:

$$F = \left[\frac{\text{moleculas}}{\text{m}^2 \text{ seg}}\right] = \frac{N_A P}{\sqrt{Z \pi MRT}} = 3.52 \times 10^{22} \frac{P_{\text{TORR}}}{\sqrt{MT}} (1.2)$$

onde NA é a massa molecular de um determinado gas à - / pressão parcial P, dada em Torr, e à temperatura T. Esta equação é válida se considerarmos que toda molécula/ incidente adere à superfície. Como é necessário cerca / de 10 15 moleculas/cm² para cobrir uma superfície com -/ uma camada monomolecular, o tempo necessário para que / isto ocorra quando temos uma pressão residual de 10 10 / torr composta de gases atmosféricos a temperatura ambiente é cerca de 10 horas.

Cada átomo ou molécula gasosa fica su-/
jeito a um potencial atrativo ou aproximar-se de uma superfície qualquer. A força deste potencial determina a
natureza da interação entre o gás e os átomos de superfície. Em nosso caso estamos considerando a adsorção de
moléculas de CO sobre uma liga metálica monocristalina.

A natureza da interação entre o gás e os atomos da superfície é determinado pela profundidade e força de atuação do potencial internacional.

O processo de fississorção, geralmente é uma interação fraca, possui uma energia poten cial de atração de curto alcance. Chama-se usualmente um processo de fisissorção a todo aquele cuja energia de in teração é menor que 15 Kcal/mole. Não consideraremos este caso devido sua pouca importância em processos como catalise (17): As interações gas superfície caracterizadas por uma energia potencial eletrostática que varia in versamente como a primeira potência da distancia gás superfície (potencial codombiano) e que envolvem usualmente transferência direta ou troca de cargas entre os componen tes do gas e a superfície, são interações fortes e de lon go alcance. Estas interações são chamadas de quimissorção. Existem outros potenciais entre a gás e a superfície,tais como de dipolo, dipolo-dipolo, mas que variam inversamente com potencias mais elevadas. De uma forma abrangente, a adsorção de gases cuja interação com a superfície possui/ uma energia maior que 15 Kcal/mole é chamada de quimissor ção. Na figura 1.6 mostramos um esquema da variação da // waxiação vola energia potencial com a distancia a partir da superfície. Este resultado se deve à descrição quantum-me cânica da adsorção feita por Lenard-Jones, que postularam que a energia potencial de uma molécula como uma função / da sua distância a partir da superfície possui dois mínimos um deles pouco profundo devido as forças físicas e ou tro , profundo e mais perto da superfície, devido às forças quimicas.

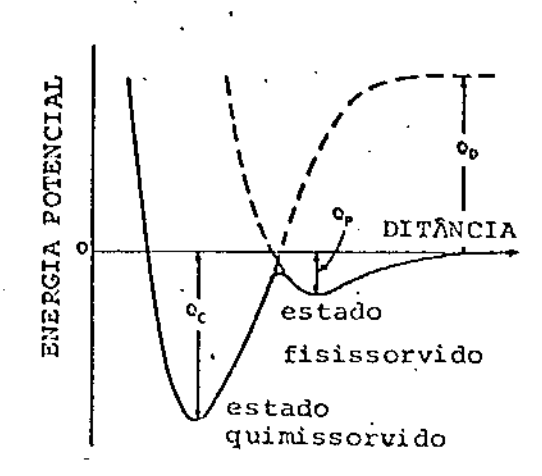


FIGURA 1.6 Esquema da variação da energia potencial com a distân cia a partir da superfície.

Qp é o calor de quimissorção e Qd é o calor de dissocia cão da molécula livre.

Os atomos ou moléculas ao adsorverem tendem a formar es-/
truturas de superfície caracterizada pela menor célula //
unitaria permitida pelas dimensões moleculares e pelas /
interações absorvido-absorvido e absorvido-substrato. O /
arranjo preferido é o empacotamento denso (18). Como exem
plo citamos a superfície Pt.98 Cu.02 (110) 1x3 que recons
troi-se para 1x1 quando CO é absorvido até a cobertura de
saturação.

A energia de adsorção inicial, ou seja para coberturas de gases absorvidos tendendo a zero, é de / difícil obtenção experimental. Mesmo trabalhando em baixa pressão grandes coberturas de gases adsorvidos podem ser/ obtidas. Ainda, a energia de adsorção de um gas sobre determinada superfície, além de depender das interações an-

sorvido-substrato e adsorvido-adsorvido, depende da estrutura da superfície do substrato e da cobertura de // gás adsorvido. Determinamos a energia de ativação de adsorção de CO sobre ligas Pt-Cu a partir dos espectros / de dessorção que são obtidosem experimentos de dessorção térmica programa (TDS). Para processos não ativados (figura (16)) onde a energia de ativação de adsorção é nula podemos escrever que a energia de ativação de dessorção é igual ao calor de adsorção.

Um dos mais significantes resultados de um experimento de dessorção térmica é demonstrar que um único tipo de molécula pode ter várias energias de ativação de dessorção direrentes para uma dade face de um material. Isto indica a existencia de vários estados de ligação discretos presentes na superfície cada qual deles adsorvendo moléculas com energia de ligação diferentes.

Efeitos interacionais entre as moléculas que adsorvem sobre a superfície também podem ocasionar/diferentes estados de adsorção, com uma energia de ativação de dessorção diferente para cada um deles.

Para um determinado sistema gas-superficie, a energia de adsorção mais favorável a processos /
como catálise, se encontra em uma região "intermediária"
sem ser muito fraca, quando não ocorre modificação significativa no gas, ou muito forte, quando pode ocorrer a/
formação de compostos estáveis.

A atividade dos metais de transição, especialmente para a quimissorção de hidrogênio molecular e em reações de hidrogenalção, é usualmente correlacionada com a exis-/tencia de bandas d parcialmente ocupadas (19).

Mostramos na tabela 1.1 a percentagem do coracter <u>d</u> para varios metais. De uma forma geral os que possuem uma percentagem elevada do caracter <u>d</u> também apresentam atividade catalítica elevada. Por isso, o estudo de ligas/tem crescido devido à expectativa de mudanças significativas da atividade catalítica ao se preencher as vacâncias de um metal do grupo VIII que compõe uma liga com um do grupo IB. Além disso ligas apresentam uma maior / resistência ao envenenamento de sua superfície, comparadas à do metal puro.

Sc	Ţi	V	Cr	Mn	Fe	Со	Ni	Cu
20	27	35	39	40	40	40	40	36
Ϋ́	Zr	NЬ	Мо	Tc	Ru	R'i	Pd	λg
19	31	-39	43	46	50	50	46	36
La	На	Ta	W	Re	0s	Ir	Pt	
19	29	39	43	46	49	49	44	

TABELA 1 % do carater 'd' de metais de transição.

1.2. SISTEMA EXPERIMENTAL-TÉCNICAS DISPONÍVEIS.

Todos os experimentos deste trabalho foram efetuados em condições de ultra alto vácuo (10⁻¹⁰torr). De acordo com a equação (2), à pressão atmosférica e temperatura ambiente o fluxo de gases, incidente sobre uma / superfície, de peso molecular M diferentes se encontra na região de 10²³ moléculas/Cm² seg. Como é necessário cerca de 10¹⁵ moléculas/cm² para cobrir uma superfície com camada monomolecular e, considerando que toda molécula in cidente sobre uma superfície a ela adere, torna-se necessário trabalhar em pressões as mais baixas possíveis, forma maximizar o tempo durante e qual poderos considerar a superfície da amostra limpa de forma não inviabilizar / os estudos de superfície. Sob as condições descritas, a / uma pressão de 10⁻¹⁰ Torr, o tempo necessário para se cobrir uma superfície com gases é cerca de 10 horas. Nestas condições, podemos considerar a superfície limpa durante/ o experimento.

Nosso sistema experimental é composto de/
uma câmara de ultra-alto vácuo (figura].7) com 65,3 litros
de volume e dotada de janelas para a montagem de diversos
dispositivos. O bombeamento deste sistema é efetuado através de combinação de uma bomba iônica (400 litros/segundo)
e de outra de sublimação de titânio (21). O pré-vácuo da /
câmara de UHV é feito através de uma bomba mecânica seca /
(palhetas de carvão) seguida por uma bomba de sorção de /
zeolite. Para se retirar a maioria dos gases adsorvidos //
nas paredes internas do sistema de UHV, todo ele é aqueci-

do à 250°C por um pediodo de 48 horas. Após o "backing" da câmara, a pressão base do sistema é de 1.5x 10⁻¹⁰ / torr. Os gases residuais são constituidos principalmen te por H, He, H₂, H₂O, CO e Ar, como pode ser visto no espectro de massa dos gases residuais mostrado na figura 1.8. A Pressão dos gases dentro da câmara é medida/ através de um medidor tipo Bayard Alpert que opera até a região de 10⁻¹¹ Torr. As pressões parciais ou total/ dos gases residuais também podem ser obtidas através / do expectrômetro da massa de precisão UTI 100c.

Esta câmara da UHV dispõe de variadas / facilidades como o espectrômetro de elétrons Auger(AES) a difração de elétrons de baixa energia (LEED), dessor ção térmica programada (TDS), espectrômetro de massa / quadripolar (MS), espectrômetro de fóto-eletrons excit tados por radiação UV (UPS) (em implantação), canhão / de íons (Ar+), evaporador de metais, sistema de dosa-/ gem de gazes puros (CO, O₂, H₂, e Ar), janelas para // observação visual, aquecimento da amostra por radiação proveniente de um filamento de tungstênio e porta amos tras com movimento nas direções X, Y, Z e angular em / torno de Z.

A espectroscopia de elétrons Auger é //
utilizada para monitorar a composição da superfície da
liga, sua limpera e possíveis segregações de impuresas
do volume para a superfície da amostra. Os diagramas /
LEED para verificar a geometria e limpeza da superfíci
e. A composição dos gases residuais verificada através

do espectrômetro de

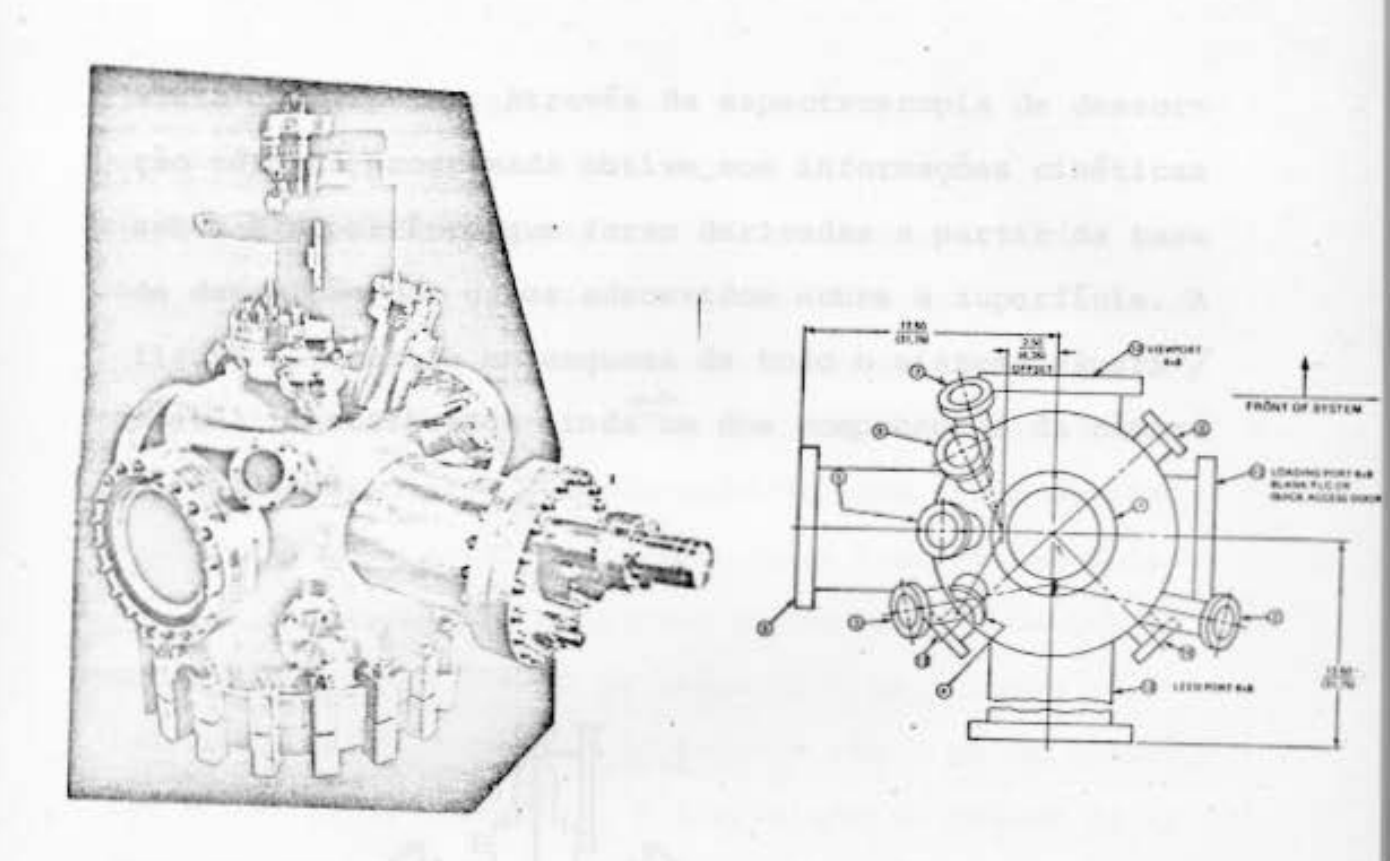
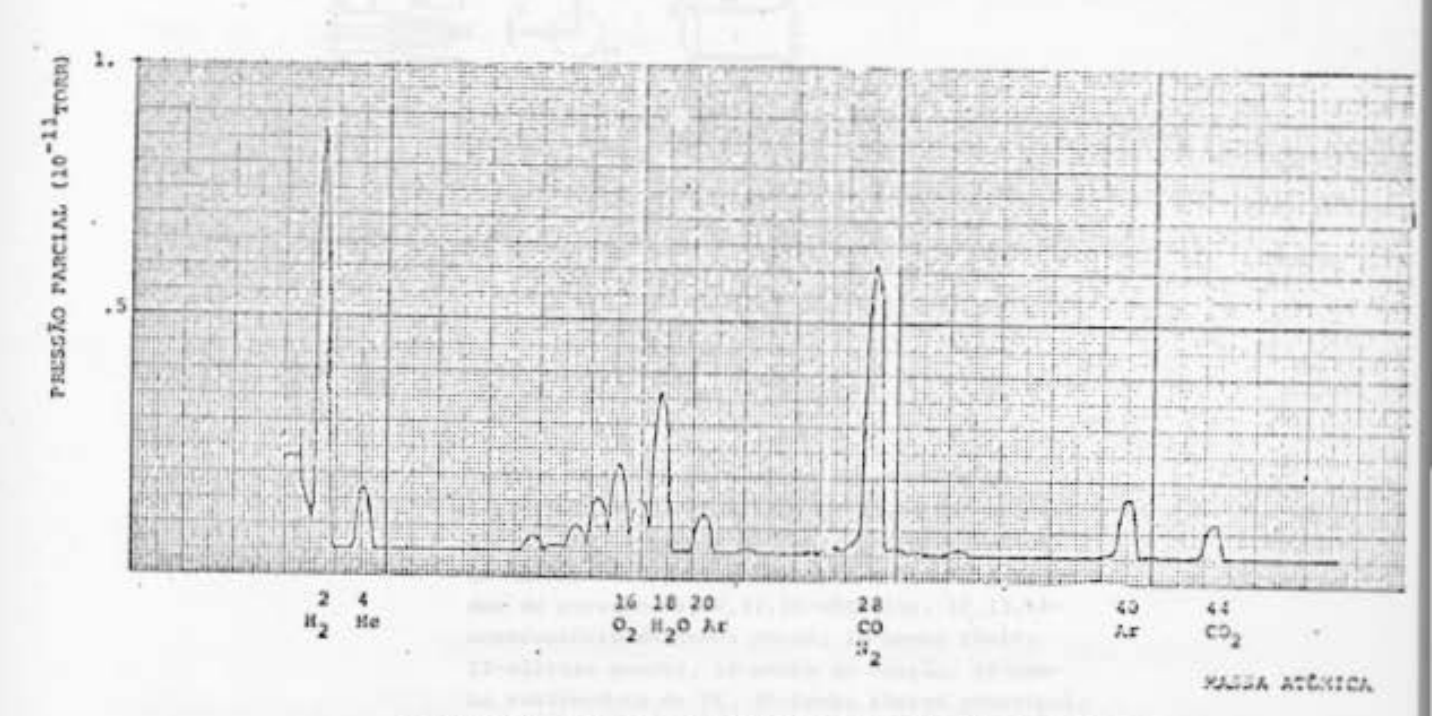


FIGURA 1.7 Camara de UHV com diagrama de suas janelas visto de cima.



PIGURA 1.8 Espectro de massa dou gases residuats dentro da cânara de UNV, apõs 'backing'. Pressão base de 1.5 X 10⁻¹⁰Torr.

massa quadripolar. Através da espectroscopia de dessorção térmica programada obtive mos informações cinéticas sobre a superfície que foram derivadas a partir da taxa de dessorção dos gases adsorvidos sobre a superfície. A figura 1.9 mostra um esquema de todo o sistema experi-/ mental identificando ainda um dos componentes da câmara de análises.

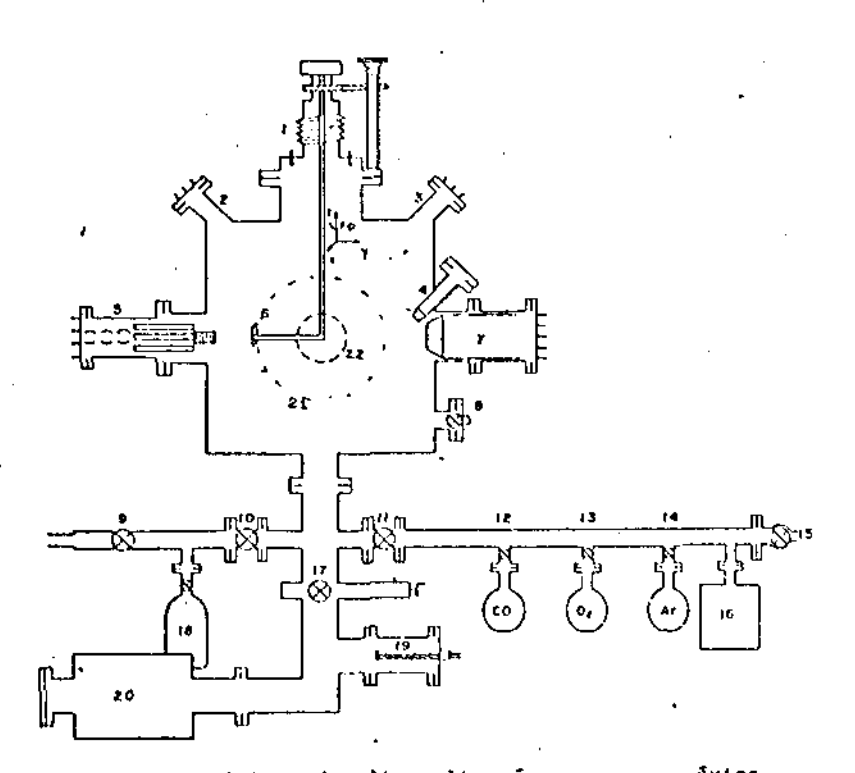


FIGURA 1.9 - Sistema de ultra alto vácuo com acessórios

1-manipulador de precisão, 2-janela de observação, 3-UPS, 4-canhão de fons, 5-espectrômatro
de massa, 6-suporte de amostras, 7-CNA, 8-modidor de pressão, 9,10,11,15-válvulas, 12,13,14reservatório de gases puros, 1e-bomba iônica,
17-válvula gaveta, 16-bomba de sorção, 19-bomba sublimadora de Ti, 20-bomba iônica principal,
21-janela de observação, 22-LECD,

1.3 AMOSTRAS ESTUDADAS.

Estudamos duas ligas monocristalinas de/
Pt.98 Cu.02 com faces orientadas nas direções cristalo-/
graficas (110) e (111). As amostras foram obtidas da //
Material Research Corporation, England, cortadas do lingote original, tendo a orientação de suas faces determinada através de tecnicas de R-X. Suas faces estão polidas até um acabamento espelhado da superfície dentro de um precisão menor que 19 da respectiva orientação cristalográfica. As dimensões da amostra são 5 mm de diâmetro e o,5 mm de espessura. A composição de volume da //
liga foi determinada através de micro-análise eletronica encontrando que a composição atômica das amostras é/
98% de platina e 2% de cobre.

A escolha do sitema Pt-Cu foi determinada por seu comportamento catalitico de grande interesse,
pela existência de quantidade razoavel de outras informações acerca deste sistema e por se encaixar no progra
ma de estudos de nosso laboratório que tem estudado não
somente esta liga como também tem investigado as propri
edades de superfície de várias outras ligas binárias //
bem caracterizadas (12 e 21).

Um programa intenso de pesquisa tem sido efetuado por vários investigadores utilizando várias -/ tecnicas de superfície para o estudo do comportamento / de quimissorção do CO sobre superfícies monocristalinas/ bem caracterizadas de platina (22 e 23). A Platina é um

bom catalisador monometálico para uma das mais importantes reações heterogêneas cataliticamente ativadas que é a oxidação de CO, enquanto que pouco trabalho ja foi feito sobre o comportamento da Pt em ligas (22). Sinfelt e outros observaram que certas ligas binárias, entre elas metais nobres e outros metais não ativos, apresentam // uma atividade catalitica em estado estacionário superior e são menos sensíveis ao envenenamento que outros // catalisadores monometálicos (25 e 26).

A adição de cobre à platina mostrou modificações significativas nas propriedades catalíticas // para a oxidação de CO (12 e 27). Estudos de foto-emis-/ são caracterizaram as mudanças da estrutura eletrônica/ de volume e de superfície desta liga em função da con-/ centração atômica de seus elementos (9,10 e 15). Neste/ estudo apresentamos nossos resultados para a quimissorção de CO sobre as superfície (110)e (111) de liga Pt₉₈ Cu_{.02} utilizando a espectrocopia de dessorção térmica / programada (TDS).

Antes da montagem destas amostras no sis tema de UNV elas foram submetidas a limpezas em solventes orgânicos e desengordurantes minerais, finalizando com álcool isopropilico em banho de ultra-som. As amostras foram montadas na câmara de análise, uma de cada / vez, fixadas em suporte próprio do porta-amostras com / manipulador de precisão. A configuração do porta amostra(F1140) é tal que permite o estudo da amostra em qualquer ângulo em torno do eixo vertical - Z. Isto nos permite posi

ciona-la defronte de qualquer instrumento que dispõe a câmara de UHV (Figura 1.11). A amostra foi fixada no // porta amostra (inox) soldada (solda ponto) sobre um su-/ porte de tântalo. Escolhemos o tântalo porque este me-/ tal possui um energia de quimissorção para CO muito maior que a da Pt-Cu (figura 1.12). Isto evita a dessor-/ ção de CO dos suportes da amostra durante o experimento de dessorção térmica não causando distorções no resulta dos da experiência.

Atrás da amostra foi montado um filamento de tungsténio enrolado em forma de espiral que aquece uniformemente a amostra por radiação até uma temperatura de 1.0009C. A temperatura do cristal é monitorada/através de um termopar cromel-alumel soldado (solda ponto) em sua borda.

Uma vez dentro da câmara de UHV, a amostra é limpa "In Situ", por bombardeamento de fons de // argônio (2x10⁻⁵Torr PP de Ar, 3KeV) e por ciclos de -// aquecimento em O₂ e H₂ (1x 10⁻⁷ Torr) a 9009C. Após / os ciclos de limpeza, a superfície da amostra foi rec./ construida (recristalizada) mantendo-a à temperatura / de 7009C. por periodos em torno de 1 hora. Neste está-/ glo as amostras foram consideradas limpas segundos o // limite de detecção da espectroscopia Auger e apresentavam diagrama LEED 1x3 para a superfície (110) e 1x1 para a superfície (111). Os gases residuais, foram monito rados constantemente através do espectrômetro de massa.

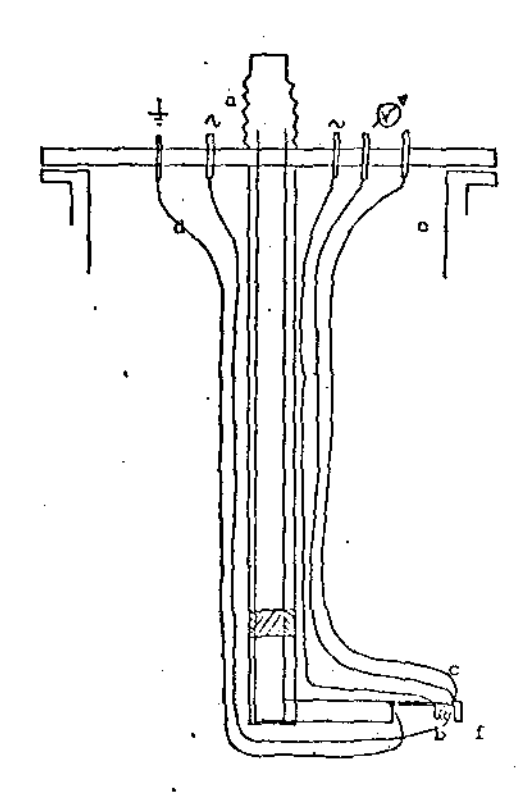


FIGURA 1.10 Esquema do suporte de amostras;
al manipulador, b) filamento de W,
c) termopar, d) fio terra, e) comade UHV, f) amostra.

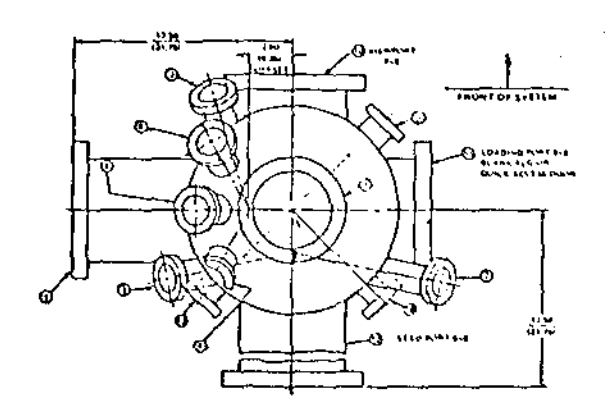


FIGURA 1.11 Disposição da instrumentação em torno da amostra visto de cima: 1. porta amostras, 2,6, e 10.janelas, 3.UPS, 4.canhão de fons, 5,7,13 e 16.janelas fechadas, 8.evaporador, 9.CMA, 11.espectrômetro de massa, 12.LEED.

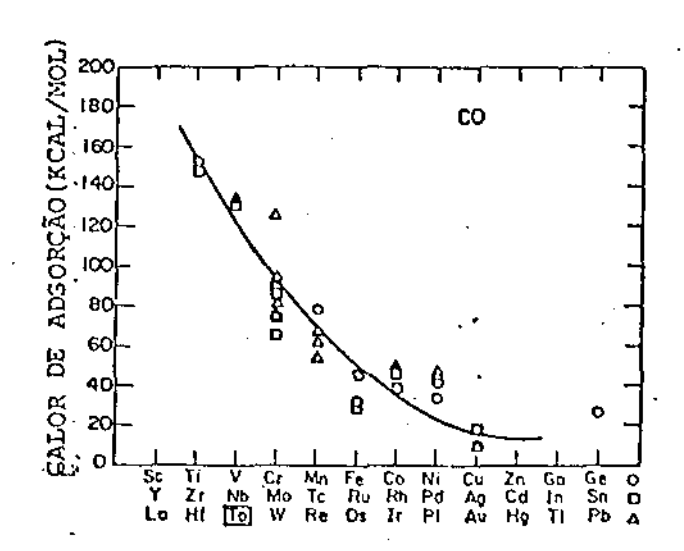


FIGURA 1.12 Calor de adsorção de CO sobre superfícies policristalinas de metais de transição.

2. ESPECTROSCOPIA DE ELÉTRONS AUGER (AES)

2.1. INTRODUÇÃO

Otilizamos a espectroscopia de elétrons/
Auger (AES) como técnica auxiliar, para análise da composição de superfície das amostras em estudo. Desta for
ma, pudemos manter em contrôle constante durante todos/
experimentos quanto à presença na superfície de impurezas devido à segregação ou adsorção de gases e quanto à
composição atômica de superfície, dos componentes das /
ligas em estudo.

Com a espectroscopia Auger, a uma das //

técnicas mais importantes utilizadas para determinar a / . composição elementar das últimas camadas atômicas da su perfície de um sólido, podemos detectar todos os elementos (exceto H e He) pois cada um deles emite eletrons Auger com energias características que são usualmente / muito pouco influenciadas pelo ambiente químico no qual se encontra o átomo (28). Ela possui uma alta sensibili dade, capaz de detectar mencs que 1% de uma monocamada/ de contaminantes localizadas na superfície. Isto corres ponde a um limite de detecção de 10¹³ atomos/cm² que -/ equivale a uma concentração de volume na região de 1019 atomos/cm3 (29). A profundidade, a partir da superfície da amostra, na qual pode se originar um elétron Auger/ foi determinada experimentalmente e se encontra na re-/ gião de 5 a 15A. A profundidade de escape do elétron -/ Auger, dada pelo seu caminho livre médio, esta relacionada à energia cinetica do elétron ejetado e depende do

material do qual originou. A figura 2.1 mostra os resultados experimentais, obtidos através de várias espec-//troscopios de elétrons para olivre caminho médio de elétrons dos sólidos indicados (18). Assim, esta técnica / é particularmente aplicável à análise de superfícies. Entretanto, as superfícies devem permanecer atomicamente/limpas durante seu estudo. Após a limpeza da amostra"in situ" a pressão base na câmara deve ser mantida menor / que 10⁻⁹ Torr, para que não ocorra contaminação significativa da superfície da amostra.

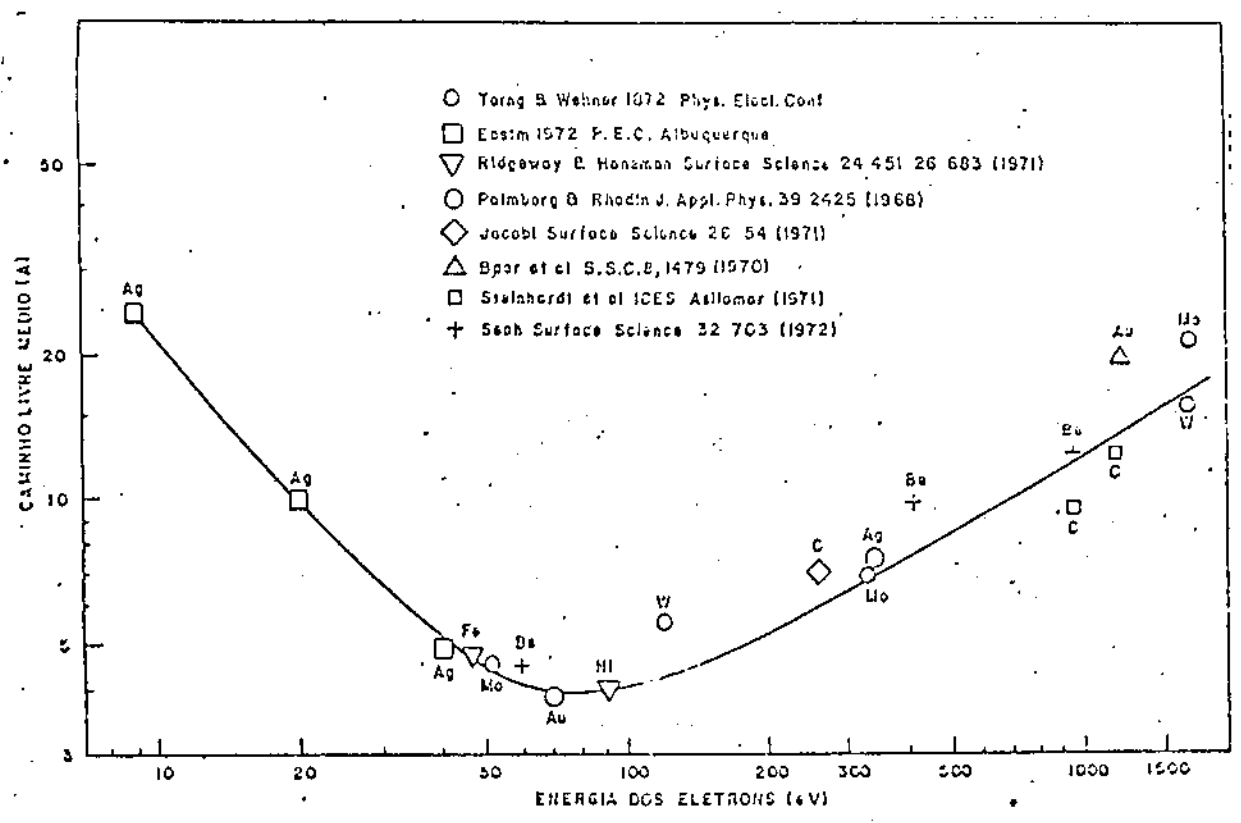


FIGURA 2.1 Caminho livra múdio (profundidado do escapa mádia) de elétrone como função da energia do olátron.

- 2.2. ASPECTOS BÁSICOS TRANSIÇÃO AUGER
- 2.2.1. Distribuição de Energia dos Elétrons Secundários

Os Elétrons secundários gerados no proces so Auger, chamados simplesmente de elétrons Auger, estão superpostos a outros elétrons gerados por outros processos, na distribuição de energia N(E) dos elétrons secundários. Um espectro dos eletrons inelásticos emitidos // por um sólido, sujeito a um bombardeamento por elétrons/ energéticos acelerados a 2 KeV, pode ser visto na figura 2.2 (30). Na figura 2.3 mostramos o espectro da distri-/ buição de energia que obtivemos para a Pt .98 Cu .02 excitada por um feixe primário de 100eV.

Uma parte do feixe primário de elétrons // que não difrata, faz várias colisões dentro do sólido -/ criando elétrons secundários energéticos. Estes, por sua vez criam mais elétrons secundários e assim, sucessiva-/ mente decresce a energia média dos elétrons. As quatro / regiões em energia, de I a IV na figura 2.2, mostram elé trons de origens diferentes. As intensidades relativas / das várias contribuições para o espectro dependem da energia do feixe dos elétrons primários, do ângulo de in cidência e do ângulo de emissão dos elétrons. O pico estreito do lado direito da figura 2.2 (região I) é origia: nado pelos elétrons difratados elásticamente, que contém informações estrutural do volume e da superfície (ver // LEED). Perdas de energia devido à excitação de fonons // (circulo do lado direito) são resolvidos somente com ana lisadores mais sofisticados. Na região II do espectro, /

temos as perdas de energia característica das excitações eletrônicas e das perdas por ionização. A linha pontilha da nesta figura representa a contribuição dos elétrons / secundários, cuja energia característica não depende energia de excitação da amostra. Suas energias caracte-/ risticas estão relacionadas à energia cinética zero elétrons (E = 0) ao invés de referidos à energia de / excitação do feixe primário. A maioria dos elétrons se-/ cundários e em especial aqueles do pico largo na região/ da baixa energia (região IV) resultam da excitação em // cascata e tem pouco uso analítico, exceto em "Yield Spec troscopy" e no microscópio de varredura e microanálise eletrônica. Os elétrons secundários gerados no processo/ Auger se encontram na regiao III da figura 2.2, onde -// existe em destaque um circulo doladoesquerdo desta figura.

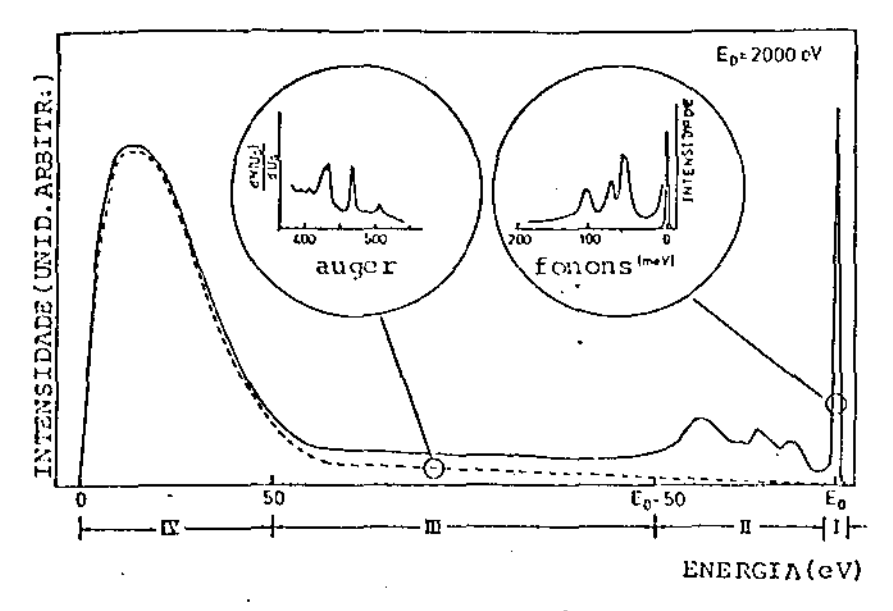
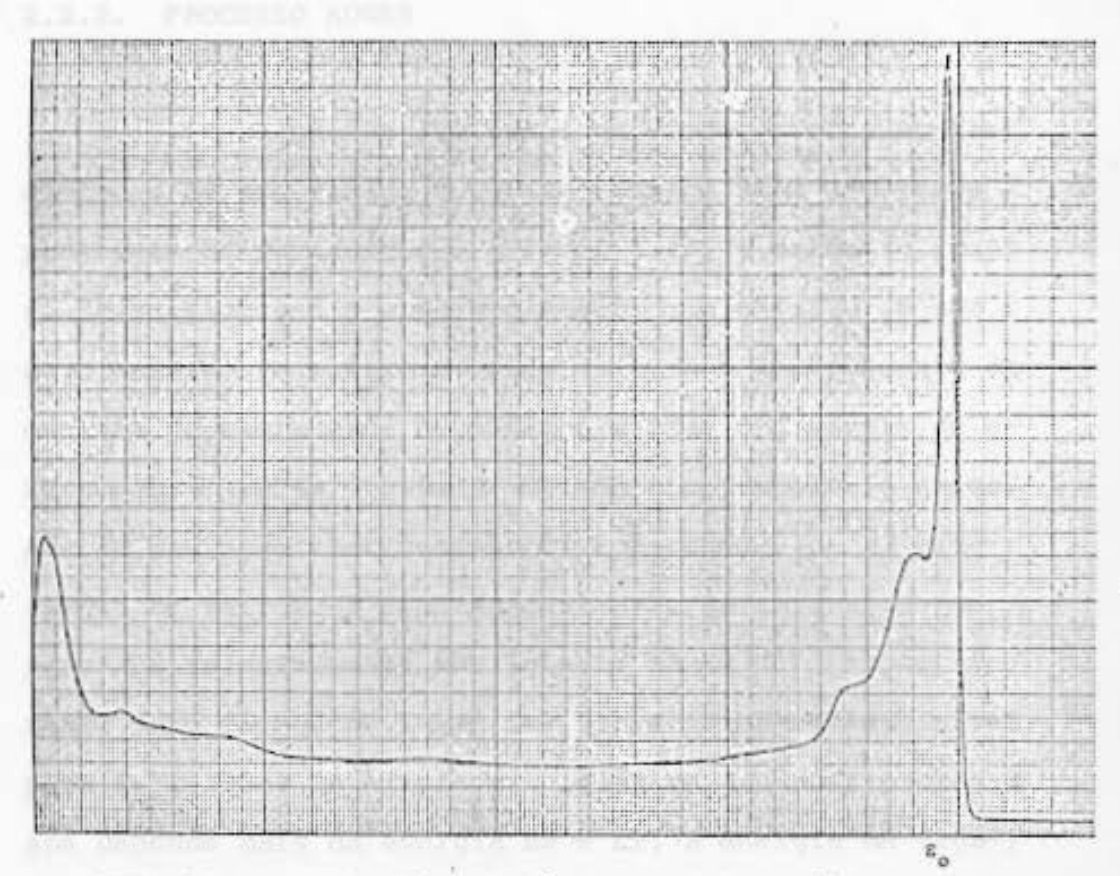


FIGURA 2.2 Espectro dos elétrons inclásticos.



PIGURA 2.3 Espectro dos elétrons inelásticos cotido da superfície Pt_98Cu_02(110)1X3 excitada com um feixa primário E_-100eV.

2.2.2. PROCESSO AUGER

Quando excitamos um átomo, retirando-lhe/ elétrons de uma camada interna, existem dois processos / possiveis de de-excitação (figura 2.4). O primeiro modo de de-excitação é o processo Auger, que resulta em uma / nova emissão de elétrons, cuja energia é independente da energia de excitação, dependendo apenas dos níveis de energia do átomo em questão. O segundo tipo envolve a emise/ são de radiação eletromagnética e é chamado de fluores-/ cencia de raio-X. A excitação através de emissão de um / raio-X é relativamente ineficiente (29 e 31), especial-/ mente para elementos laves (Z < 33) e torna-se negligível para E_k < 500eV. A eficiencia relativa dos dois proces-/ sos depende mais da energia Ew e Ex, a energia de liga-/ ção do nível inicialmente fonizado (W) e a energia do ní vel de onde veio o elétron (X), do que do número atômico Z. A alta eficiencia do processo Auger pode ser ilustrada pelo fato de que esta transição dura somente segundos, cerca do tempo que um elétrons leva para efetu ar uma única órbita.

A emissão do elétron Auger ocorre da se-/
guinte maneira. Quando um feixe energético de elétrons /
(2-5KeV) incide sobre os átomos de um material, os elétrons que possuem energia de ligação menor que a do feixe incidente podem ser ejetados de seu nível atômico intêrno. Portanto, um atomo mono-excitado é o estado funda
mental para a emissão de elétrons Auger. A vacância formada será ocupada por de-excitação de elétrons que se -/

encontram em outros níveis de energia menos ligados. A e nergia que sobra da transição eletrônica que ocupa a vacância primária pode, por interação eletrostática, ser / transferida a um outro elétron, tanto em um mesmo átomo/ como para um átomo diferente. Se a energia de ligação // deste elétron é menor que a energia que lhe é transferida, devido ao processo anteriormente descrito, este elétron somme jetado no vácuo deixando um átomo duplamente ionizado. Este elétron que é ejetado, devido a um proces so de de-excitação, é chamado de elétron Auger. Sua ener gia é essencialmente uma função da separação entre os ní veis de energia no atomo. Na figura 2.5 mostramos um esquema do processo de emissão de um elétron Auger. A ener gia do elétron Auger relativa ao nivel de vácuo, em primeira aproximação, é dada por;

$$E = E_{\mathbf{W}} - E_{\mathbf{X}} - E_{\mathbf{Y}} - \emptyset$$
 (2.1)

onde E_w e a energia de ligação do nível inicialmente ionizado Ex e a energia do nível do elétron que ocupa a / vacância do nível W , E e a energia de ligação do ni-/ vél do elétromejetado e Ø e a função trabalho do espectrômetro. Esta equação deve ser vista como uma aproxi-/ mação de trabalho, já que não leva em conta o fato deste processo ocorrer envolvendo dois elétrons a partir / de um átomo mono-excitado.

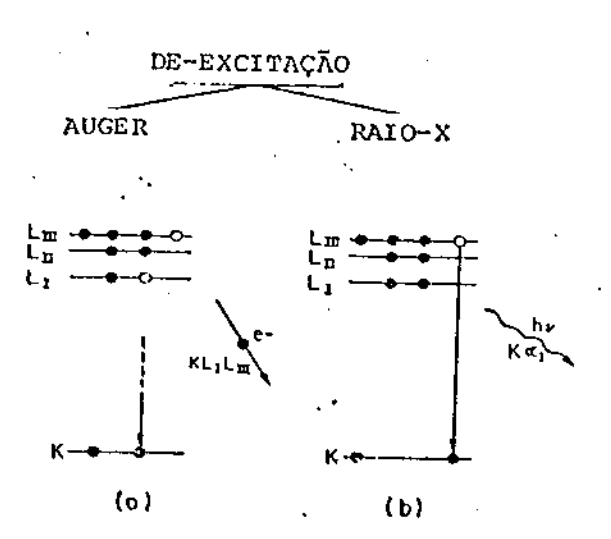
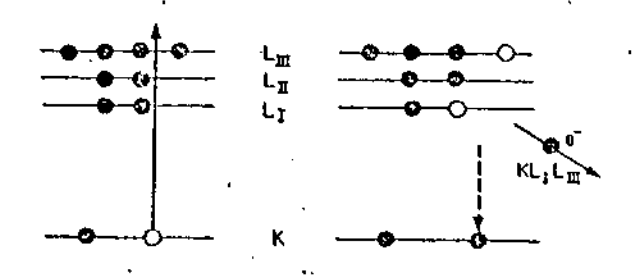


FIGURA 2.4 Diagrama de níveis de energia representando processos de de-excitação por a) emissão de elétron Auger e por b) fluo rescência de raio-X.

EMESSÃO DE ELETRON AUGER



EXCITAÇÃO

EMISSÃO DO ELETRON

FIGURA 2.5 Esquema do processo de emissão de elétron Auger.

2.3. EXPERIMENTAL

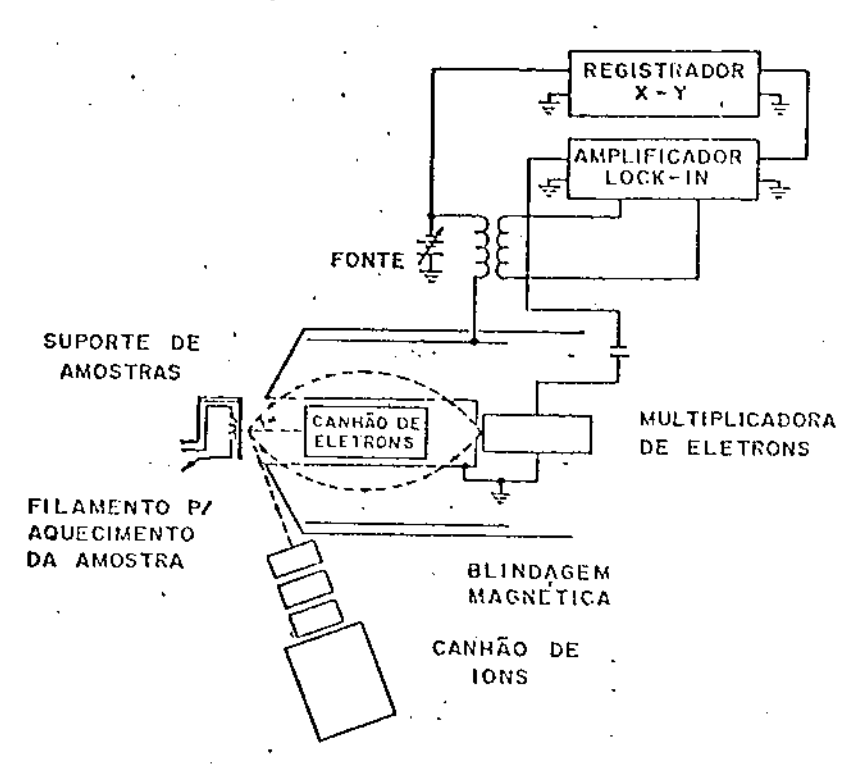
A corrente devida aos elétrons Auger, proveniente de um sólido, medida experimentalmente é tipicamente 10⁻⁵ Ip, onde Ip é a corrente do feixe primário. Uma questão básica que se apresenta é, ao detectar/os elétrons secundários, separar e maximizar a corrente/de elétrons Auger. A espectroscopia de eletrons Auger requer uma análise de energia do eletrons emitidos de su-/perfície de forma subtrair ou suprimir o fundo intenso / (background) sobre o qual estão superpostos as fracas linhas Auger (figura 2.2).

Os aralisadores de energia já construidos são baseados em princípios eletrostáticos, magnéticos ou ambos. Existem dois tipos de analisadores eletrostáticos que são os do tipo dispersavo e campo retardado. Como // representante do tipo campo retardado citamos o dispositivos LEED-Auger, que utiliza a óptica eletrônica LEED / como analisador de energia, unindo num único aparelho as duas técnicas de análise de superfície. Vamos descrever/ brevemente aqui o analisador tipo dispersivo CMA (Cylin drical minor analyser), que utilizamos em nosso experi-/ mento.

2.3.1. Analisador de Energia

O analisador eletrostático de espelho cilíndrico é mostrado na figura 2.6, juntamente com um esquema da eletrônica de detecção. Uma voltagem variável / $V_{\rm p}$ é aplicada ao cílindro externo do analisador enquanto que o cílindro interno é aterrado. Os elétrons que deixam a amostra com uma energia e $V_{\rm e}$ são focados em uma região toroidal ao redor do eixo do cílindro. A razão $V_{\rm e}$ / $V_{\rm e}$ é determinada pela geometria do analisador (no nosso caso $V_{\rm e}$ varian) e esta usualmente entre 1 e 2. O ângulo de aceitação dos elétrons é $379 < \sim <499$ e $0 < \phi <2^{11}$. Este / analisador é mais eficiente que outros analisadores de / focalização. Ele é seguido por uma elétron mutiplicadora que proporciona um ganho de até 10^6 veses.

Este analisador é um filtro passa-! anda, permitindo que somente os elétrons dentro de uma pequena janela em energia sejam coletados. Sua resolução é da or dem de AE/E < 1%. Em comparação com outros analisadores,/ele possui um ruido muito menor, pode utilizar corrente do feixe primário de excitação menor e pode efetuar rápidas varreduras em energia, permitindo analisar rapidamente uma amostra. A corrente coletada I(E) é proporcional/ã distribuição de energia N(E) dos elétrons Auger.



PIGURA 2.6 Esquema do analidador de elétrons (CMA) com sistema de detecção associado.

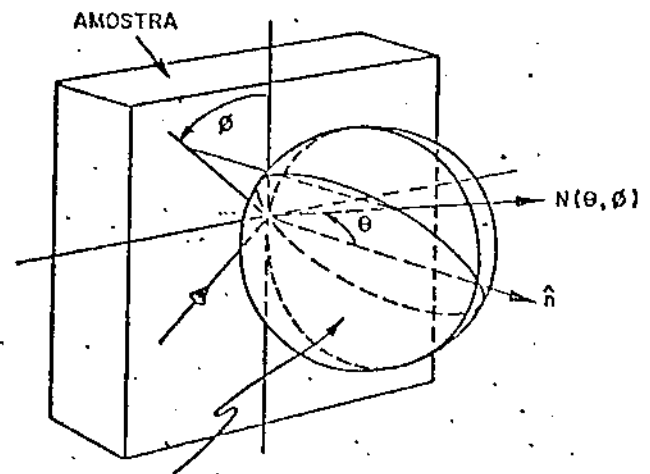


FIGURA 2.7 PLUMA ESFÉRICA REPRESENTANDO EMISSÃO ISOTRÓPICA DE ELETRONS SECUNDÁRIOS

2.3.2. COLETA E ANÁLISE DOS DADOS.

O feixe de elétrons com intensidade Ip e/energia Ep que incide sobre a amostra produz uma emissão de elétrons secundários cuja intensidade possui uma de-/pendên**c**ia energética e angular. A corrente secundária de elétrons Auger possui uma distribuição em energia $N(E,\theta,\phi)$, proporcional à corrente I(E) detectada pelo CMA e /relacionada à densidade de estado do material em estudo. Os ângulos ϕ e θ estão definido na figura 2.7 onde vemos que para uma emissão isotópica $0<\theta<^{11}/2$ e $0<\phi<2^{11}$.

De uma maneira geral estamos interessados apenas na dependência energética da distribuição de energia pois é ela que permite a determinação do elemento // que esta produzindo os elétrons Auger. Usualmente, os // CMA (s) são projetados para aceitar elétrons entre 379 < 9 < 499 e $0 < \emptyset < 2^{11}$.

Uma dificuldade, a qual atrasou o desen-/volvimento da técnica Auger, é a presença de um fundo in tenso de elétrons secundários que se sobrepõe aos pi-cos Auger, como podemos ver na figura 2.2, os quais provém principalmente de retro-espalhamento inelástico do feixe primário. A intensidade do fundo varia lentamente/com a energia ao contrário dos picos Auger que são bas-/tante abruptos. Temos então um sinal suave devido ao fundo secundário com flutuações rapidas devido aos elétrons Auger. A derivada destes sinais será praticamente a derivada dos picos Auger. A figura 2.8 mostra uma porção dos espectros N(E) ~ I(E) e dN(E) ~ dI(E).

Esta derivação é feita eletrônicamente, / através de um lock-in sintonizado na frequencia de modulação, como é mostrado na figura 2.6, onde vemos um ar-/ ranjo tipo CMA completo. Como vimos, um analisador CMA consiste basicamente de dois cílindros concêntricos, entre os quais criamos em campo elétrico que deflete os elétrons que entram por uma fenda na parte frontal. A diferença de potencial entre os dois cilindros é escolhida de tal maneira a fazer com que apenas os elétrons com a energia desejada chegem ao detector (eletro multiplicado ra) na parte central. O canhão de eletrons de excitação/ esta incorporado na parte central do analisador. Para se fazer a varredura em energia varia-se a diferença de potencial entre os dois cilíndros. O sinal é limitado pela máxima corrente do feixe de elétrons que é possível (-// (< 500 mA) e pelo pequeno número de elétrons Auger produ zidos, especialmente para a detecção de quantidades dimi nutas de impurezas sobre a superfície. O melhor metodo que se tem para resgatar: o sinal Auger é modular o poten cial defletor com um pequeno sinal que varie senoidalmen te com a frequência w , AE= K sen wt. Verifica-se que / se detectarmos o sinal de saida sincronamente com a modulação, através de um amplificador lock-in sintonizado/ na frequência w, obtém-se a derivada de I(E) diretamente, jã que após uma expansão de Taylor de I(E+AE) obtemos -/ que

I(E) NIO +
$$\frac{dI}{dE}$$
 K sen ωt - $\frac{d^2I}{dE^2}$ $\frac{K^2}{4}$ cos $\omega t + \cdots$ (2.2)

A energia do pico Auger é tomada como sendo a da excursão negativa máxima, representado por E na figura 2.8. Costuma-se excitar várias linhas Auger para um único ele mento. O espectro Auger de uma amostra composta por vár/rios elementos e/ou com contaminantes sobre sua superfície costuma ter vários picos, com alguns deles superpondo-se, dificultando sua identificação.

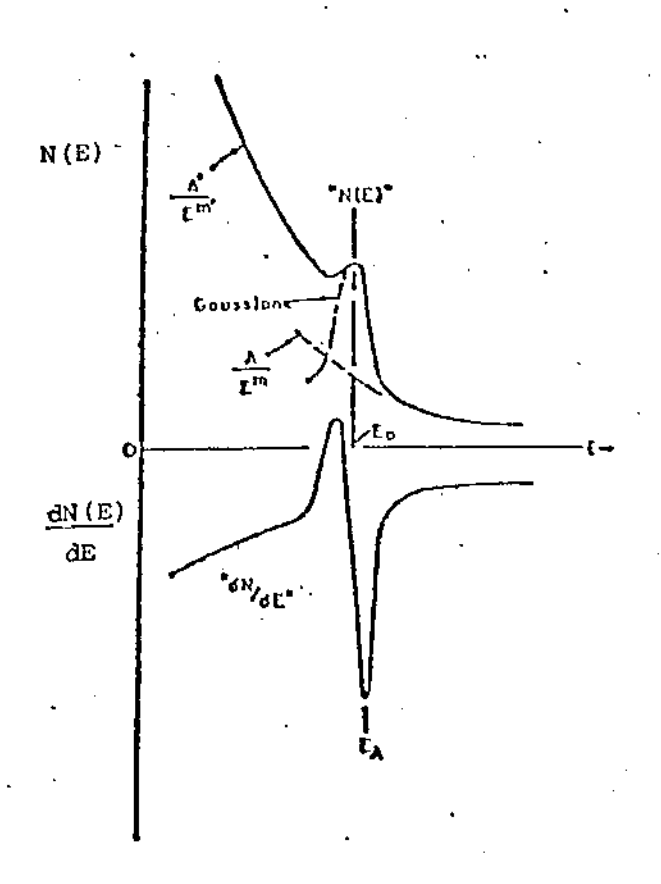


FIGURA 2.8 Representação de uma transição Auger mostrando a corrente I(E)=N(E) e sua de derivada dN(E)/dE.

2.3.3. PROFUNDIDADE DE ESCAPE.

A profundidade de escape para elétrons Au ger (λ(E)) é identificada com o livre caminho médio que um elétron pode percorrer no interior de um sólido sem / sofrer uma interação inelástica. λ(E) é um valor estatis tico e deve ser usado como uma probabilidade de ocorrência de uma interação inelástica, depois que este elétron (de energia E) percorra uma distância X dentro do sólido. Isto leva a um fator de avernação exponencial para o núme ro de elétrons que chegam à superfície a partir da pro-/ fundidade X, do tipo exp (-x/λ(E)).

Os mecanismos pelos quais estes elétrons/
podem perder energia ou sofrer interações inelásticas -/
são principalmente ionização de níveis de caroço excita
ção de fonons, da banda de valência de transições inter-/
bandas. O mecanismo principal é o de excitação da banda/
de valência onde o conjunto de elétrons de valência vai
ser excitado, criando-se plasmons, cuja energia em metais
não varia com a temperatura, dependendo principalmente
de densidade de elétrons na banda de valência. Isto faz/
com que o livre caminho médio seja praticamente independente do metal e da temperatura, como pode ser visto na
figura 2.1. Nela se mostra como à varia em função da ener
gia para diversos materiais.

A espessura de onde provém os eletrons // Auger não é limitada de maneira abrupta por $\lambda(E)$, mas -/ apresenta uma dependência exponencial, onde a contribui-

ção das camadas superiores é muito maior que a das camadas mais internas. Estão tabeladas abaixo a contribuição de camadas de espessura $\lambda(E)$ à medida que se penetra no sólido.

$$1 \lambda (E) = 0.835$$

$$2 \lambda (E) = 0.130$$

$$3 \lambda (E) = 0.027$$

$$4 \lambda (E) = 0.006$$

$$5 \lambda(E) = 0.002$$

Como se pode observar apenas as duas primeiras camadas//
(de espessura 2 \(\)(E)) tem contribuições apreciáveis, ou
seja, fornecem 96% do sinal. Combinando este dado com os
da figura 2.1, onde vemos que \(\)(E) entre 5 e 10AP para /
a grande maioria da transições normalmente observadas em
AES, podemos concluir que do ponto de vista da espectros
copia Auger a superfície do sólido possui menos que 20Å/
de espessura.

2.3.4 ANÁLISE QUALITATIVA E QUANTITATIVA

Quando estamos interessados em determinar apenas quais elementos estão presentes na amostra basta/ tomarmos a energia e a forma de cada pico e compararmos/ com os espectros de cada elemento obtidos de amostras padrão e que existem tabelados na literatura (32 e 33).

Fazemos a identificação dos picos Auger / principais de um espectro utilizando uma carta das Energias principais dos Elétrons Auger. Esta carta apresenta uma relação entre a energia dos elétrons Auger e o numéro atómico. Uma vez determinado os elementos principais/ que compoe a amostra, identificamos todos os outros pi-/ cos do espectro pertencentes a estes elementos através / de comparações com espectros padrões de cada um dos elementos. Uma vez identificado todos os picos Auger dos // principais constituintes da amostra, passamos à identifi cação dos picos Auger ainda não determinados, que perten cem a constituintesminoritários da amostra, cuja identifi cação se processa como descrito anteriormente. Devido sua pequena concentração, somente os picos mais intensos destes elementos serão observados no espectro. Como muitas vezes as transições Auger envolvem elétrons de valên cia, o ambiente químico pode introduzir mudenças na forma e energia do pico, o que permite a identificação do / composto químico além do elemento propriamente dito. A / análise qualitativa é bastante simples, a menos da pos-/ sobreposições de linhas Auger, o que não é verda

Em primeira apròximação uma análise quantitativa pode ser efetuada comparando-se os sinais Auger da amostra em estudo com os de uma amostra padrão pura.

Assim, a concentração do elemento X fica dada por

$$C_{x} = \frac{I_{x}}{I_{xpad}}$$
 (2.3.)

onde I_x e I_{pad} são as amplitudes pico a pico da amostra/ e do padrão respectivamente. Isto implica a existencia / de muitos padrões. Entretanto eles podem ser substitui-/ dos por um único padrão, usualmente a prata, e todas as/ concentrações de outros elementos podem ser calculadas / com referência as este único padrão.

Em nosso caso, calculamos as concentra-//
ções atômicas através da expressão,

$$c_{x} = \frac{I_{x}}{s_{x}} / \sum_{\infty} \frac{I_{\infty}}{s_{\infty}}$$
 (2.3)

onde I_x é a amplitude pico a pico da linha Auger do elemento x da amostra que contém várias outras linhas Auger que aparecem no somatório que é efetuado para um pico ∞ para cada elemento. S é a sensibilidade relativa do elemento x e dos outros elementos ∞ , calculado relativo à / Ag e que se encontra tabelado (32 e 33) Utilizamos esta expressão apões efetuar uma análise qualitativa, onde identificamos quais elementos compõs a amostra. Feito isto, substituimos na equação 35 amplitudes dos picos Auger de cada um dos elementos, para os quais existem tabelados seus respectivos fatores de sensibilidade. Feito isto,/ calculamos a concentração do elemento desejado.

2.4. RESULTADOS.

Após a montagem das amostras (uma de cada vez) no sistema de UHV e ter-se atingido a pressão base/ de 10⁻¹⁰Torr, elas foram submetidas a ciclos de limpeza/ in situ envolvendo bombardeamento com ions de argônio // com energia 3KeV e aquecimento, em atmosfera de O2 e H2. Os ciclos de erosão (sputtering) da amostra não se mostraram suficiente para eliminar o carbono adsorvido sobre ela, conforme constatado pelos espectros Auger, obtidos constantemente. O bambardeamento com ions de argônio elimina praticamente todo CO adsorvido sobre a superfície da liga Pt_{.98} Cu_{.02} mas, uma pequena perce<u>n</u> tagem de CO dissocia-se, ficando difícil retirar o car bono somente com sputtering. Retiramos o carbono residual da superficie do cristal aquecendo-o em atmosfera de O_2 (1×10^{-7} Torr) a 1173 K, por alguns segundos. Este procedimento resultou em uma superficie livre de carbo no, mas contaminada com oxigênio adsorvido. O estágio/ final de limpeza da amostra se completou com o aquecimento da amostra a 11739K em atmosfera de H₂ (1x10⁻⁷Torr) quando se eliminou o oxigênio adsorvido.

Ao se erodir a superfície do cristal (/ (Sputtering) para sua limpeza, introduz-se diversos de feitos e rugosidades que são indesejáveis. Além disso/remove-se preferencialmente o Cu da superfície da amos tra. Observamos (através dos diagramas LEED) que consequimos o restabelecimento da estrutura cristalina da / superfície (rescristalização ou annealing) aquecendo o cristal a 973K por l hora.

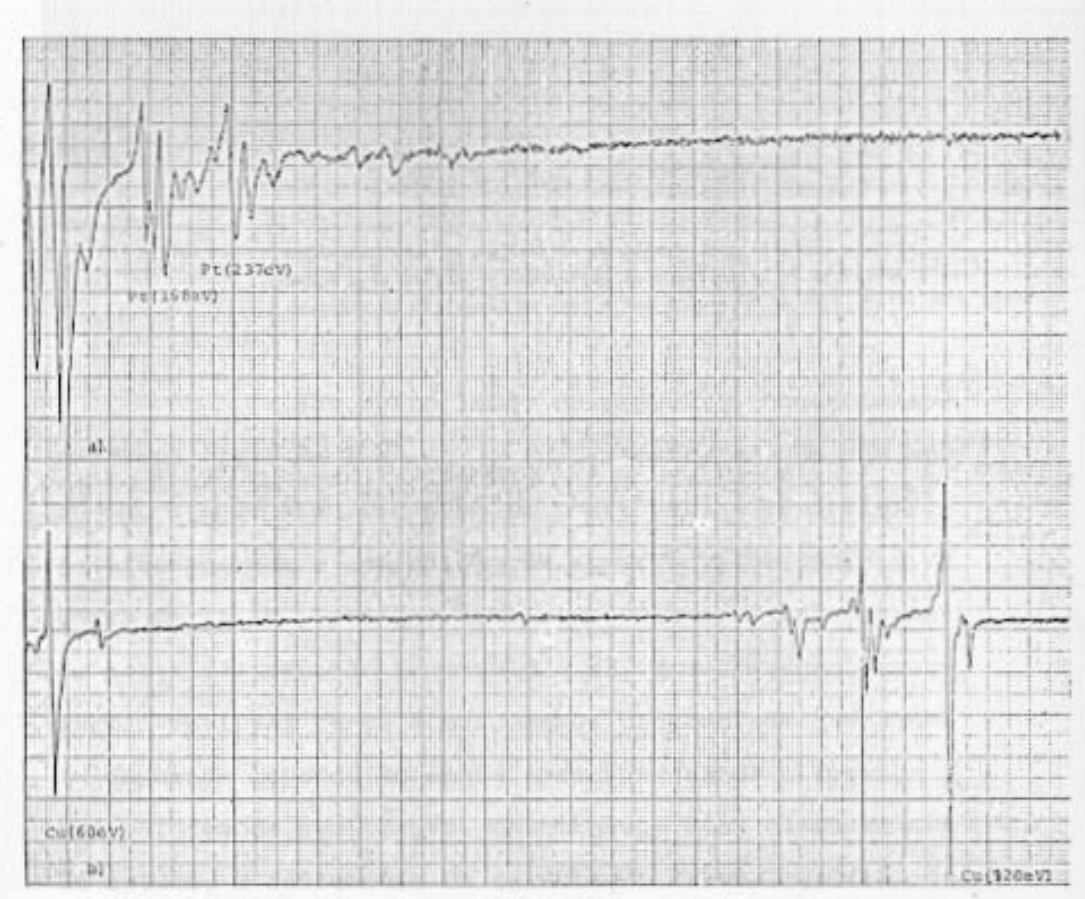
Este procedimento permite também que se atinja facilmente a composição de equilibrio da liga na superfície, ja que a diferença entre a energia de superfície/da Pt e do Cu é bastante grande (γ Pt- γ Cu = 670erg/cm²) (11).

A Figura 2.10 mostra os espectros Auger / das superfícies limpas da platina e cobre puros (8). Na/ figura 2.11 podemos observar os espectros Auger das su-/ perfície limpas e já recrstalizadas da Pt_{.98} Cu_{.02} (110) e Pt_{.98} Cu_{.02}. Observamos claramente as transições Auger da Pt e do Cu compreendidas dentro do intervalo de energia de 30-1030 eV. As Amostras foram excitadas com um // feixe primário de 5000 eV e a corrente I(E) detectada / foi modulada por um sinal senoidal com frequencia 17KHz/ e amplitude 5Vpp.

O bombardeamento com ions de argônio causa uma remoção preferencial do Cu, o que permite obter/
uma pequena variação na concentração do cobre sobre a /
superfície da amostra. A variação da composição superficial causada pelo bombardeamento de ions de Ar+ é mos-/
trado na figura 2.12. A figura 2.12-b é um espectro/
Auger da Pt_{.98} Cu_{.02} (110), logo após erosão iônica e /
pode ser considerada como um espectro Auger da Pt pura.

Ja na figura 3.12-avemos o espectro Auger das superfície/
(110) de Pt_{.98} Cu_{.02} após ter atingido a composição de equilíbrio, aparecendo a linhas Auger da Pt e do Cu.

A composição de equilibrio das faces (// (110) e (111) foram determinadas utilizando-se a equação (2.3) onde se substituiu as intensidas pico a pico das li



' FIGURA 2.10 Epactro Augar da augarificia da a) Pt pura e b) Cu puro.

Os espectros foram foltos con un foltos de elétrons de SkeV e
una modulação de SVpp. A largura do expectros é de 20 a 1030eV.

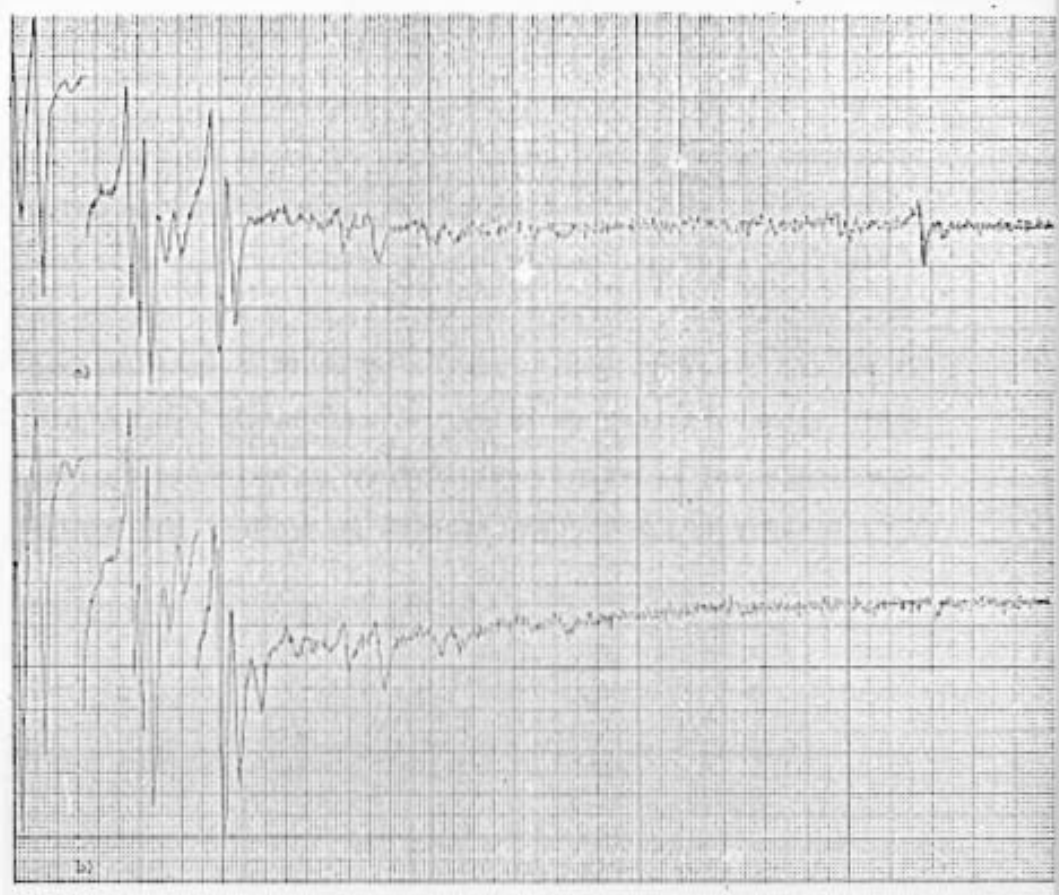


FIGURA 2.11 Espectro Auger da superfício de a)Pt.98Cu.02(110)1X3 e b)Pt.98Cu.02(111)1X1,
esbos após atingir a composição de equilibrio. Os espectros foras feitoscom
um feixe de excitação de 5keV e uma modulação de 5Vpp, entre 30 e 1030eV.

Por outro lado, os espectros Auger da superfície (111) da liga Pt.98 Cu.02 mostraram que não hou
ve segregação significativa de cobre para a superfície./
Verificamos que a composição de superfície de cobre é //
cerca de 2% at., prôxima aquela de volume. E interessante notar que segundo Langeveld (13), a segregação superficial em ligas Pt-Cu é muio menos pronunciada que aquela esperada levando em conta apenas a grande diferença /
dos calores de sublimação. Entretanto, fica claro em nos
so estudo, a influencia da orientação cristalográfica na
segregação de cobre para a superfície em ligas Pt.98 Cy2.

za adsorvida sobre as superfície, como podemos constatar pelos espectros Auger da Figura 2.11 e 2.12. Entretanto/ existe a possibilidade de que alguma impureza segregue / do volume para a superfície do cristal. Encontramos como contaminante diluido no volume destas amostra, Si, em // quantidades quase fora do limite de detecção Auger. Todo silício presente na superfície do cristal foi eliminado, dentro dos limites de detecção AES, por bombardeamento /

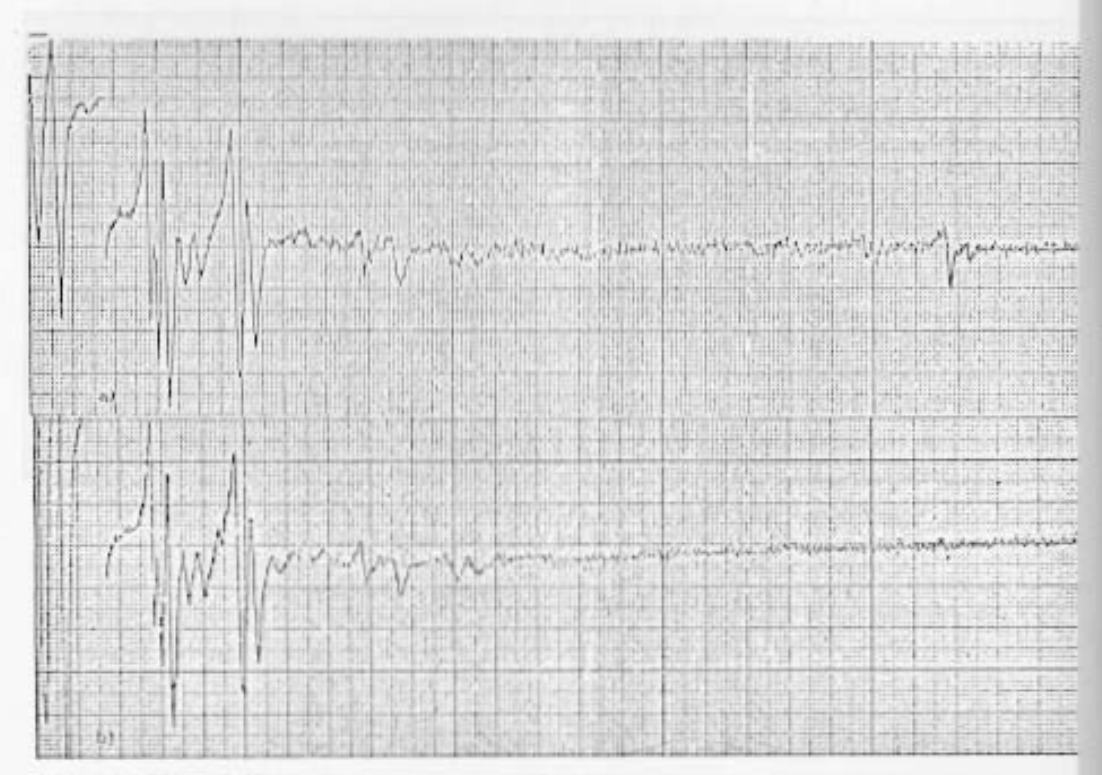


FIGURA 2.12 Espectro Auger da superfícia Pt_{.95}Cu_{.02}(110) a) con sua composição de equilíbrio o b) após ter sua superfícia 'sputterada'. Estes aspectros foram efetuados nas mesmas condições dos anteriores.

com fons de argônio. Mostramos na figura 2.13 um espectro Auger da Pt.98 Cu.02 (110) com silício em sua super fície. O tempo de duração dos experimentos, após ser // completada a limpeza de superfície da amostra é menor / que o necessário para que ocorra uma contaminação da su perfície, detectável por espectroscopia Auger.

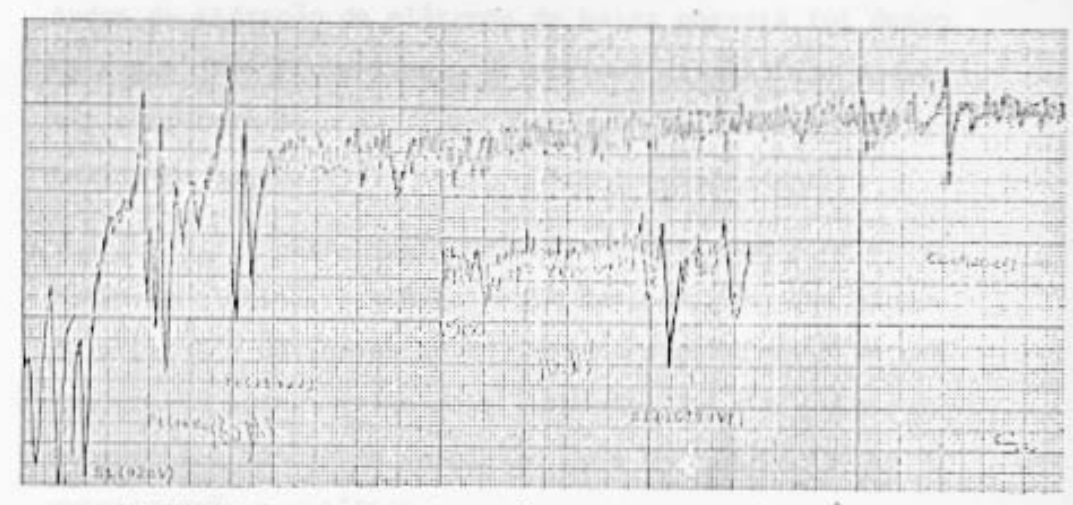


FIGURA 2.13 Espectro Auger da superfície Pt_{.98}Cu_{.02}(110) apés aquecimento a 8007C por 6 horas. Os picos en 92 e 1619 eV são devido à segregação do Si. Teixe do elétrons primários de SkeV, medulação de 5Vpp entre 30 e 1030 eV.

3. DIFRAÇÃO DE ELTRONS DE BAIXA ENERGIA (LEED).

3.1 INTRODUÇÃO

Utilizamos a difração de elétrons de baixa energia (LEED) para investigar a estrutura atômica /
da superfície das amostras estudadas, seu comportamento/
frente à químissorção de CO e monitorar a limpeza das su
perfície estudadas.

Um dos resultados mais importantes nos es tudos de difração de elétrons de baixa energia foi desco brir que superfície limpas de sólidos cristalinos podem/ter estrutura de superfície diferente da estrutura cristalina de volume (36).

Uma compreensão das propriedades de super fície da platina, o conhecimento das posições dos átomos do cristal e dos gases adsorvidos na superfície é um pre-requisito para estudos mais completos que nos permitam/compreender fenômenos complexos como os envolvidos em //quimissorção e catálise.

A face orientada (110) limpa de metais ca taliticamente importantes com a Pt, Ir e Au exibem uma / reconstrução de sua superfície que é caracterizada por / um diagrama LEED 1x2 (23, 37 e referências la contidas) ao invês de 1x1, a estrutura de volume. Tem sido aceito/ que a reconstrução 1x2 da face (110) é uma propriedade / intrínseca destes metais. Além disso, estas superfície / apresentam novas reconstruções, reversíveis, em função / de quimissorção de gazes ou tratamento térmico.

Ligas deste elementos são de particular / interesse, por podemos observar a influência do segundo/ constituinte da liga sobre sua estrutura cristalina de / superfície. Estudamos com a difração de elétrons de bai- xa energia as faces orientadas (110) e (111) da liga bi--metálica monocristalina Pt 98 Cu 02. Esta liga forma // uma solução sólida homogênea de dois metais fcc com o / cobre ocupando posições substitucionais. A face (111) não apresentou resultados diferentes dos da Pt (111) pura mas a face (110) mostrou-se alterar drasticamente, apresen-/ tando um diagrama de difração 1x3, ao contrário do 1x2 / que apresenta a Pt(110) pura.

3.2. ASPECTOS BÁSICOS

O fenômeno básico envolvido nos estudo de difração de elétrons de baixa energia (LEED) é a interferência entre as ondas de elétrons espalhadas pela superfície de um sólido cristalino. Em 1924 de Broglie suge-/riu que particulas tais com átomos, elétrons e neutrons/possuam um carácter dual, exibindo tanto as propriedades de onda como as usuais de particula. Ele propôs que o //comprimento de onda \(\lambda \), associado com estas particulas / é dado por:

$$\lambda = \frac{h}{P}$$
 (3.1)

onde h e a constante de Plank e p é a momentum da particula. As proposições de de Broglie foram confirmadas no/
famoso experimento em 1927 le Davisson e Germer, quando /
observaram a difração de elétrons que foram retro-espa-/
lhados da superfície de um cristal de níquel (17). Para/
um elétron com velocidade v e energia cínetica E.

$$P = mv = \sqrt{2mE}$$
 (3.2)

resultando que

$$\lambda (A) = \left(\frac{150.4^{1/2}}{E(ev)}\right)$$
 (3.3)

é o comprimento de onda para elétrons (em A) que possu-/
em energia cinetica E (em eV). Constatamos pela equação(3.3) que, com baixas energias do feixe de excitação pri
mário (20 - 200 eV), o comprimento de onda dos elétrons/
é da mesma ordem de grandeza que o parâmetro de rede dos
cristais, permitindo que seja possível obter feixes di-/
fratados.

Na Figura 3.1 apresentamos gráfico da percentagem dos elétrons elásticamente espalhados pela superfície da platina com função da energia do feixe de elétrons incidente (17), onde observamos uma alta eficiência para elétrons de baixa energia e, // portanto, de pouca penetrabilidade dentro do sólido.

Os atomos de um cristal estão arranjados/
em uma rêde regular e espalham as ondas de elétrons em /
fase e com feixes bem definidos que formam o diagrama de
difração. Devido ao forte espalhamento elástico e ine-/
lástico, os elétrons lentos (20-200 eV) utilizados em
LEED penetram somente cerca de 3 a 5 camadas atômicas adentro à superfície do sólido e além disto nossuem um li
vre cominho médio pequeno (figura 2.1), além do qual o-/
corram colisões inelásticas. Por isso, a difração de ele
trons de baixa energia é muito sensível à superfície /-/
prestando-se não somente para estuda-la intrinsicamente,/
mas também para o estudos de camadas de gases adsorvidos
sobre a superfície (28).

Vários processos de espalhamento podem // ser identificados na distribuição de energia dos elétron secundários que retorna de uma superfície bombardeada // por elétrons. Como vimos no capítulo anterior (figura 2. 2.), uma parte dos elétrons do feixe incidente retroespalha elásticamente segundo certos ângulos que obedecem às leis de difração. Mostramos na figura 2.3 um espectro da distribuição de energia N(E) dos elétrons sedundários emitidos da superfície (110) da Pt. 98 Cu. 02 para uma energia do feixe de elétrons de E = 100eV.

Os elétrons difratados elásticamente pela amostra voltam em direção ao aparelho difração de de elétrons de baixa energia (fiqura 3.2). O feixe difratado elasticamente é acelerado em direção à tela fluores-/ cente e seu impacto produz o diagrama de difração. A maior parte dos elétrons incidentes são espalhados inelasticamente. Este fluxo de elétrons espalhados inelasticamente é impedido de chegar à tela fluorescente pelos potenciais adequados das grades que estão defronte à tela fluorescente. Os elétrons espalhados elásticamente pas=/ sam através desta barreira de potencial e então são fortemente acelerados. Ao incidirem sobre o coletor fluores cente produzem pontos luminosos os quais, compõe o dia-/ grama de difração, que corresponde à rede reciproca do / cristal.

Basicamente existem dois tipos de instrumentos LEED.O difratrômetro, composto de um copo de faraday ou uma elétro-multiplicadora, permite medir a intensidade e a posição do feixe de elétrons difratados. Com // ele podemos obter informações estruturais mais precisas. Outro, o coletor semi-esférico fluorescente, com abertura de 1209, permite-nos observar simultaneamente todos / os eletrons elásticos espalhados sob seu ângulo sólido. É com este tipo de aparelho (figura 3.2), que obtivemos os diagramas de difração de nossos cristais. Utilizamos os diagramas de difração obtidos com LEED restringindo-/ nos ao estudo da geometria destes diagramas e a uma análise qualitativa das intensidades e forma dos feixes refletidos.

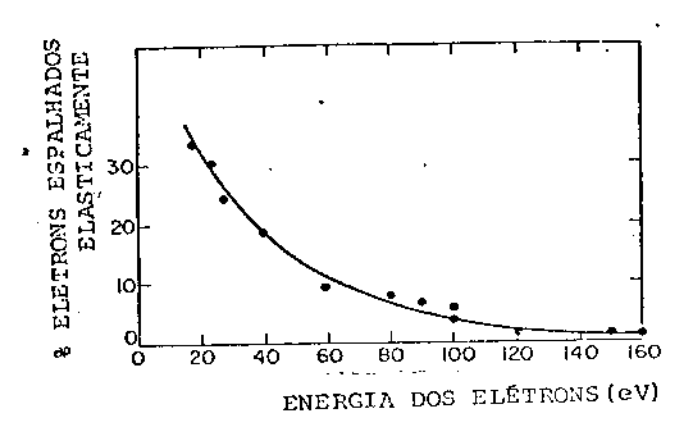
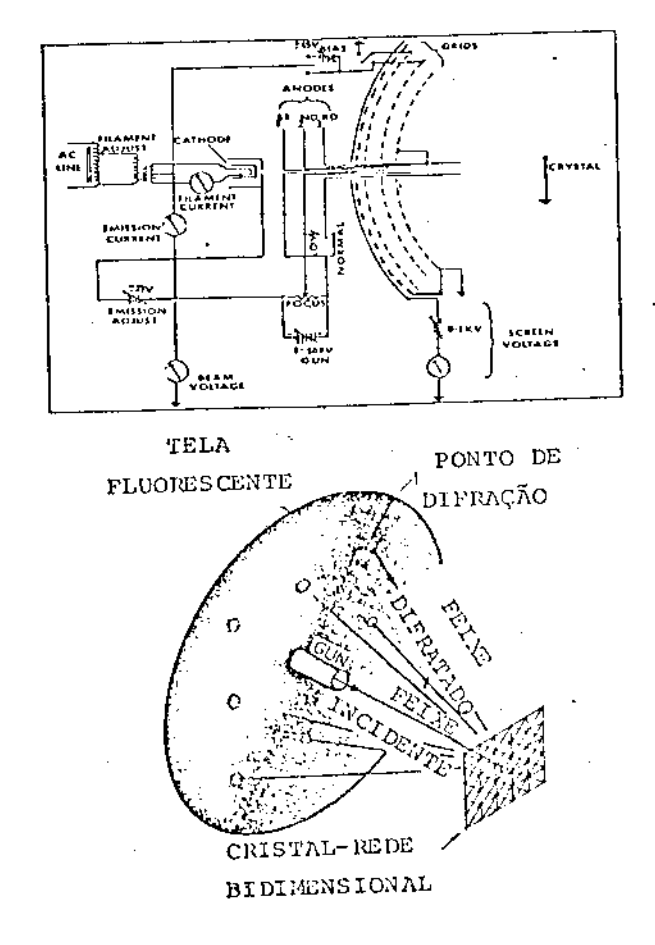


FIGURA 3.1 Percentagem dos elétrons espalhados eláticamente como função da énergia dos elétrons incidentes.



b)

FIGURA 3.2 a) Esquema do dispositivo de dia fração la elétrons de baixa ener gia com quatro grades é b) representação da formação do diagrama de difração na tela fluorescente.

A nomenclatura que utilizamos para os dia gramas de difração relaciona a estrutura cristalina da / superfície com a estrutura cristalina de volume do cristal. A célula unitária de volume do sólido possui uma // estrutura chamada lxl. A estrutura de superfície com a / mesma célula unitária de volume é também chamada estrutura lxl. Entretanto, nem sempre a periodicidade da superfície é iguál à do volume, devido, por exemplo, a distor ções, reconstruções ou átomos adsorvidos. Quando a estrutura da superfície é caracterizada por uma célula unitária que são multiplos inteiros dacelula unitária de volume, ela é descrita por sua multipletude em cada uma das/ direções dos vetores unitários no plano.

Se a célula unitária da estrutura de superfície é duas vezes maior que a célula unitária de volume em uma das direções dos vetores unitários e noutra, é iqual à de volume, esta superfície é designada 1x2.

Para os nossos objetivos é suficiente a/ avaliação da geometria do diagrama de difração e uma aná lise qualitativa da intensidade das reflexões. Estamos - interessados em saber sé houve reconstrução superficiaļ/ intrínseca superfície, ou devido à quimissorção de ga-/ ses ou ainda devido à variações de temperatura. Queremos também manter um contrôle sobre a estrutura cristalina / de superfície observando se ela mantem-se inalterada du-/ rante os experimentos de dessorção térmica programada e quais alterações ocorrem na estrutura de superfície de-vido à quimissorção de gases.

3.3. EXPERIMENTAL

Utilizamos um sistema LEED, com quatro // grades, fabricado pela Varian. O canhão de elétrons esta inserido dentro do sistema de forma que a incidência do feixe primário é perpendicular à amostra. A pressão base na câmara de UHV foi de 2x10⁻¹⁰Torr. As amostras foram / estudadas por LEED, após terem suas superfície considera das limpas, dentro do limite de detecção de espectroscopia Auger. A energia do feixe de elétrons primário utilizada para obter os diagramas de difração foi da ordem de 60eV. Nesta condições, podemos considerar superfície as últimas quatro camadas atômicas das amostras.

3.4. RESULTADOS.

As superfícies orientadas (110)e(111) da/Pt.98 Cu.02 foram estudadas por difração de elétrons de baixasenergia concomitante aos estudos efetuados com espectroscopia de elétrons Auger e dessorção térmica pro-/gramada. Apos caracterizar as amostras por AES observa-/mos a geometria de seus diagramas de difração, antes de iniciar os espectros de dessorção térmica.

Assim como outras superfícies orientadas/ na direção (110), Pt, Au e Ir, a superfície (110) da lida monocristalina Pt $_{.98}$ Cu $_{.02}$ apresentou uma superfície/ reconstruida com célula unitária diferente daquela de volume do cristal.

A superfície (110) da Platina pura tem -/
uma estrutura cristalina de superfície, á temperatura am
biente, limpa e após recristalização, caracterizada por
um diagrama de difração 1x2 (22, 37-39). Isto significa/
que o comprimento da célula unitária desta superfície é
duas vezes maior na direção de um dos eixos principais /
enquanto que no outro continua com as mesmas dimensões. O
diagrama LEED 1x2 mostra uma dupla periodicidade na dire
ção (100).

Atualmente existe razoâvel acordo que a / reconstrução lx2 de superfície (110) da Pt, Au e Ir, são propriedades intrinsecas destes metais. Este estado re-/ construido é estável enquanto a superfície permanece lim pa, sem impurezas ou gases adsorvidos (22). Vários mode

los foram propostos para decrever a reconstrução destas/ superfícies (37 e ref. contidas), não havendo acordo so bre qual modelo adotar.

Mostramos na figura 3.3 uma vista lateral e de topo da superfície (110) lxl não reconstruida e, da superfície (110) lx2 cujo modelo de reconstrução é o proposto por Bonzel e Ferrer (37).

A adição de cobre à platina orientada na direção (110) (com concentração homogénea de volume 2% / atômico de Cu) alterou drasticamente o arranjo cristalinos dos átomos na superfície monocristalina da liga, o / que não aconteceu com a superfície orientada na direção/ (111). A superfície orientada (110) da liga monocristalina Pt.98 Cu.02 exibiu reconstrução de sua superfície / que é caracterizada por um diagrama de digração LEED 1x3 Sugerimos que este novo estado de reconstrução da platina, quando em liga com cobre, tem sua origem devido à -/ presença de Cu na superfície da amostra(110). Na figura/ 3.4 mostramos um esquama dos diagramas de difração da Pt (110) 1x2 e Pt.98 Cu.02 (110) 1x3.

O diagrama LEED obtido apos amostra Pt_{.98} Cu_{.02} (110) ter sido exposto ao bombardeamento de fons,/retirando-se preferencialmente o cobre da superfície até se obter uma superfície quase pura dentro dos limites de detenção AES (figura 2.12), seguido de um rapido annealing a baixa temperatura, apresentou uma estrutura 1x2 como o esperado para uma superfície Pt (110) de um cristal puro (figura 3.4-b). Isto vem comprovar a hipótese de que a /

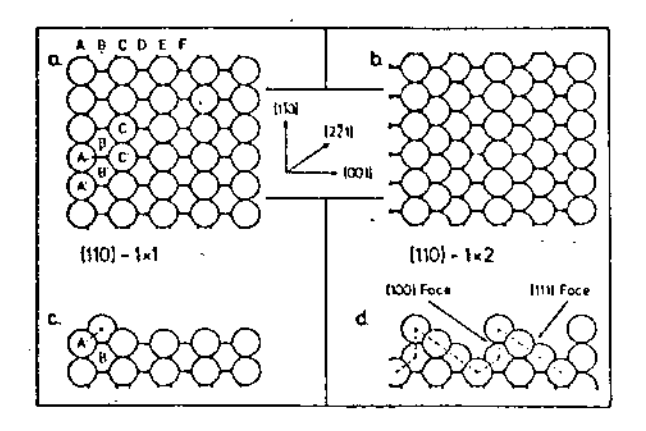


FIGURA 3.3 Modelo da estrutura cristalina de uma superfície (110)1X2 e

1X1 vista de cima(a e b) e lateralmente(c e d).

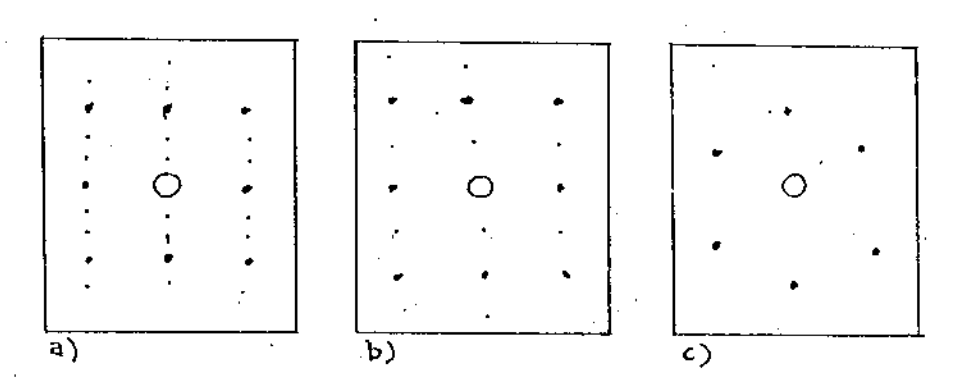


FIGURA 3.4 Esquema dos diagramas de difração LEED vistos na tela fluorescente: a) Pt_{.98}Cu_{.02}(110)1X3, b) Pt_{.98}Cu_{.02}(110)1X2 - após 'sputtering' ou segregação de Si E c) Pt_{.98}Cu_{.02}(111)1X1.

presença de "overlayers" de cobre sobre a superfície (110) da Pt induz um novo estado de reconstrução caracterizado por diagramas de difração 1x3.

A presença de impurezas na superfície(110) como o Si, inibe o aparecimento da estrutura lx3. Como / vimos no capitulo anterior (figura 2.13), nossa amostra/ apresenta traços de Si, quase fora de limite da detecção AES. O Si da superfície foi eleminado através de "sputte ring". Entretanto, estudamos com LEED a superfície (110) quando esta apresentava Si na sua superfície. Nestas condições obtivemos um diagrama da difração lx2 para a superfície (110) da Pt 98 Cu 02 com traços de sílicio so bre sua supeffície (figura 3.4-b). Concluimos que a presença do Si sobre a superfície da liga inibe que a su-/ perfície se reconstrua para a estrtura lx3, estabilizando na estrutura cristalina de superfície da Pt(110) -/ pura.

A superfície Pt.98 Cu.02 (110) 1x3 exposta à adsorção de CO à temperatura ambiente, não apresentou um diagrama de difração ordenado que pudessa ser observado. Este resultado se contrapõe ao obtido para a Pt-(110) pura (23 e 40) que quando exposta à adsorção de CO a 300K apresenta um diagrama de difração com geometria / 1x1 com um fundo intenso. Obtivemos este mesmo resultado para a superfície (110) "sputterada", o que denota mais um processoque sofre alterações devidas à presença de cobre no cristal.

Em oposição aos resultados obtidos para a

superfície (110), a superfície orientada (111) da liga / Pt.98 Cu.02 não apresentou resultados diferentes dos // observados para a superfície (111) da Pt pura. A Pt(111) pura não apresenta reconstrução de sua superfície. O dia grama de difração desta superfície esta de acordo com o/ previsto a partir da periodicidade do plano (111) da Pt/ (36). Obtivermos este mesmo resultado, um diagrama de difração com geometria lx1, para a superfície (111) da liga Pt.98 Cu.02, como mostrado na figura 3.4-c.

A estrutura de superfície desta face não/mostrou alterar-se frente à adsorção de CO à temperatura ambiente até a cobertura de saturação.

4. DESSORÇÃO TÉRMICA PROGRAMADA (TDS).

4.1 INTRODUÇÃO

Entendemos por dessorção a ruptura da ligação de absorção e a remoção de uma espécie adsorvida / sobre uma superfície. Este processo pode ser alcançado / por diferentes caminhos. Dentre as técnicas utilizadas / para a obtenção de informações sobre a superfície de metais e sua interação com gases adsorvidos, o método da / dessorção térmica programada (TDS-Thermal Desorption -// Spectroscopy) é um dos mais utilizados e esta entre os / que tem mais contribuido para a compreensão dos mecanismos de dessorção e adsorção de gases sobre a superfície/ de metais. A utilização de TDS para o estudo de dessor-/ ção de gases adsorvidos envolve a ruptura de ligação entre a superfície e o gas, resultando em um procedirento/ destrutivo da camada de gases adsorvidos não modificando a superficie da amostra, a menos de possíveis reconstruções da estrutura cristalina de superfície.

Quando a temperatura da amostra é tal que as espéciais adsorvidas começam a ter energia acima da / energia de dessorção, dentro de uma distribuição de Max-well, elas podem deixar a superfície. Um experimento de dessorção térmica programada consiste em aquecer continu antemente uma amostra e detectar a taxa de dessorção do gás anteriormente adsorvido como função da temperatura / da amostra. A detecção do gás dessorvido da amostra é / efetuada através de um espectrômetro de massa, sintoniza

do na massa molecular do gás em questão, cuja corrente é proporcional à pressão do sistema. A curva resultante -/ deste experimento, pressão x temperatura, é chamada de / 'espectro de dessorção'. A análise dos espectros de des-/ sorção é baseada no tratamento dado por Redhead à equa-/ ção de taxa de dessorção deste sistema. Utilizando este/ método determinamos a energia de ativação de dessorção e o fator pré-exponencial dos Estados de dessorção de CO em Pt.98 Cu.02 (110) o Pt.98 Cu.02 (111).

Como a adsorção em superfícies metálicas/ limpas é geralmente em processo não ativado (41) a energia de ativação de dessorção é uma boa aproximação para/ ocalor de adsorção. Ainda, para processos não dissociati vos, que é a nosso caso, o calor de adsorção é igual à energia de ligação de espécie adsorvida. Assim, a dessor ção térmica programada permite obter, em primeira aproxi mação, a energia de ligação de adsorção. Além disso, resultado bastante importante, é que determinamos o nume ro de sítios de adsorção que ocorrem para um determinado sistema gás-superfície. Estes estados diferentes de ad-/ sorção podem ter origem devido a efeitos interacionais / entre as espécies adsorvidos ou são estados de adsorção/ distintos. Cada um destes estados possuem uma energia de ligeração diferente, o que não nos permite falar indis-/ tintamente em energia de ligeração de um determinado sis. gas- superficie (42). tema

4.2. TRATAMENTO DOS ESPECTROS DE DESSORÇÃO.

Em um experimento de dessorção térmica //
programada o resultado final é uma curva a qual chamamos
espectro de dessorção. Desta curva somos capazes de ob-/
ter dados acerca da quantidade de gás dessorvido da super
fície e informações acerca de seus parâmetros cineticos.
Se a curva de aquecimento da amostra, a relação temperatura x tempo, for adequadamente controlada podemos obter
informações de vários parâmetros envolvidos no processo/
de dessorção, entre eles 1) o número das várias fase que
dessorvem, 2) a população relativa de cada fase individualmente, 3) a energia de ativação de dessorção, 4) o /
fator pré-exponencial e 5) a ordem da reação para cada /
uma das fases.

A taxa de dessorção de gases adsorvidos / (moléculas ou átomos dessorvidos por unidade de tempo e por unidade de área) dada por

$$R_{d} = -\underline{dN}$$

$$dt$$
(4.1)

é usualmente escrita, como é feito em cinetica-química,/
por uma equação de Arrhenius. Para a dessorção de uma /
espécie adsorvida sobre a superfície em um determinado /
estado, ela fica escrita como

$$-\frac{dN}{dt} = N^{n} K_{n} = N^{n} v_{n} \exp \left(-E_{n}/KT\right)$$
 (4.2)

onde K é a constante de velocidade para o processo de / dessorção, n é a ordem formal do processo, n é o fator pré-exponencial, R a constante dos gases, R a temperatura na qual ocorre a dessorção e R é a energia de ativa

ção de dessorção do processo.

A dependência da cobertura dos gases adsorvidos esta contida no fator Nⁿ e a dependência de temperatura esta no termo exponencial, o que faz o processo / de dessorção ser muito sensível à temperatura.

Numa interpretação simples desta equação o termo Nⁿ que da a cobertura é produzido pelo número de especies que dessorvem do estado quimissorvido em ques-/tão, o fator pré-exponencial \Im_n é identificado com a /frequência de tentativas que as espécies envolvidas no /processo, por alguns mecanismo, tentam deixar a superficie sendo que o número relativo destas espécies que possom um mínimo de energia necessária para que o processo/ocorra é dado pelo termo exponencial.

O processo de dessorção térmica de espé-/
cies adsorvidas sobre uma superfície metálica é uma reação mais complexa que as tratadas usualmente pela cíneti
ca química, pois envolve uma sequência de processos mi-/
croscópicos difíceis de serem tratados individualmente,
e que não transparecem facilmente nesta nossa descrição/
macroscópica e que, portanto, impedem de se estabelecer/
uma correspondência simples entre a ordem da reação e o
mecanismo pela qual ela ocorre. Varias situações podem /
ocorrer resultando em processos de dessorção cuja ordem/
pode ser integral ou até mesmo fracional (43).

Adotamos para o estudo de nossas curvas / de dessorção o método desenvolvido por Redhead(4.4).

4.3. DESSORÇÃO TÉRMICA PROGRAMADA Método de Redhead

Somente três equações são necessárias para descrever a dessorção de um único gás de uma amostra em/ estudo, permitindo acesso aos vários parámetros que descrevam o sistema.

A primeira delas é um balanço de massa na superfície da amostra, descrita pela equação de Arrhenius (2), ou seja

$$R_{d} = \frac{-dN}{dT} = N^{n} V_{n} \exp \left(-E_{d}/RT\right)$$
 (4.2.)

Outra, é a função que rege a temperatura/
na amostra como função do tempo,

$$T = T(t) = T_o + \beta t$$
 (3) (4.3.)

e a terceira é um balanço de massa da fase gasosa, ou se ja, do gás que rodeia a amostra, parte dele dessorvido / dela, bombeado a uma velocidade constante e tendo um tem po de vida médio na fase gasosa igual a T. Esta equação/ que conecta a taxa de dessorção com a pressão parcial do sistema é escrita como

$$\frac{d N_g}{dT} = \frac{AR_d}{T} - \frac{N_g}{T}$$

4.3.1. DETERMINAÇÃO DA COBERTURA DE GASES ADSORVIDOS.

Para encontrarmos a cobertura de gases ad sorvidos em função dos parâmetros de velocidade da rea-/ção de dessorção, devemos interligar a taxa de dessorção R_d com a pressão P_{do} sistema em torno da amostra, resul-/tante do processo de dessorção no sistema de vácuo. Num sistema de vácuo de volume V (lt), bombeado a uma velocidade constante S (lt/seg) no qual entra gás a uma taxa constante Q(torr. lt/seg) a equação de bombeamento //deste sistema é dada por

$$\frac{dP}{dt} = \frac{KT}{V} \frac{dN_g}{dt} = \frac{Q}{V} - \frac{SP}{V}$$
 (4.5)

onde P \tilde{e} a pressão no sistema, N_g \tilde{e} o numero de \tilde{a} tomos / ou moleculas nele contidas e K \tilde{e} a constante da Boltzmann.

Assuminos para o nosso sistema, o que é / experimentalmente viável, que a velocidade de bombeamento é constante, não existe adsorção de gás pelas pare-/ des do sistema e nem readssorção de gás pela amostra. O volume do sistema permanece constante e não existe qualquer outra admissão de gás para dentro do sistema que -/ não seja devida à dessorção de gás da superfície da amostra.

Antes de dar início ao processo de dessorção, a pressão base do sistema P se encontra em equilibrio, de forma que

$$Q_{O} = S P_{O} \qquad (.4.6)$$

Durante o processo de dessorção a taxa de dessorção, Rd deve ser igual a taxa de remoção de gases/ do sistema pelas bombas mais a taxa de aumento de gases dentro do Sistema. Assim, podemos escrever que:

$$AR_{d}(t) = \underbrace{S \Delta P}_{KT} + \underbrace{V}_{KT} \underbrace{dP}_{dt}$$
 (4.7.)

onde A é a área da amostra e AP=p-Po é o aumento de pres são de base. Fazendo

reescrevemos (7) como

$$\frac{dP^*}{dt} + \frac{P^*}{t} = a R_{d}(t) \qquad (4.8)$$

onde

$$\tau = \underline{v} \qquad \frac{P_1}{P_1} = \exp\left(-\frac{s \cdot t}{v}\right) \quad (4.9)$$

é o tempo caracteristico de bombeamento do sistema ou o/ tempo de vida das moleculas gasosas e

$$a = \underline{AkT} \tag{4.10}$$

é uma constante.

A taxa de dessorção, Rd pode ser obtida(4.8)
de duas maneiras diferentes, a partir da equação (8). -/
Existem dois casos limites de interesse, embora existam
tratamentos para os casos intermediários (44) - Vamos con
siderar somente os seguintes:

1) Para pequenas velocidades de bombeamento ou para um / sistema fechado (5+0), isto é, para tempo característico de bombeamento grande (****) comparado ao tempo de / aquecimento da amostra, o segundo termo do lado esquerdo (4.6) de (8) pode ser negligenciado, resultado uma taxa de //

dessorção proporcional à primeira derivada da pressão com o tempo:

$$R_{d}$$
 (t) $\simeq \frac{dP}{dt}$ (4.11)

Esta condição pode ser satisfeita de forma aproximada num sistema real quando a duração de um processo de dessorção é curta quando comparada com o tempo/ caracterstico de bombeamento T. Na maioria dos sistemas/esta condição é obtida quando a taxa de aquecimento de amostra é da ordem ou maior que 10³ K/seg;

2) No outro extremo, que é a condição mais comumente utilizada e facilmente obtida nos sistemas atuais de UHV,/
onde se tem grandes velocidades de bombeamente o tempo
caracteristo de bombeamento se torna mínimo (T+O).
Nestas condições podemos desprezar o primeiro termo do /
lado esquerdo de (8) e a taxa de dessorção se torna prop
porcional à pressão

$$R_{d}(t) \propto (a t)^{2}$$
 (4.12)

Neste caso a equação (13) fica satisfeita para taxas de/aquecimento da amostra não excessivamente grandes e a //curva de dessorção pressão x tempo pode ser utilizada diretamente para a obtenção da taxa de dessorção R.

O número de moléculas adsorvidas que dessorvam durante o processo de dessorção é determinado a-/ (4.11) (4.1) través de (12) e (2), para [↑] → 0, resultando:

$$R_{d} = \frac{-dN}{-dt} = (a t)^{\frac{1}{2}}$$

Integrando esta equação para t=o até t=00, obtemdo

$$N_{OS} = \left(\frac{AKT}{S}\right)^{-1} \int_{0}^{\infty} Pdt \qquad (4.14)$$

Para que esta equação esteja correta deve ser assegurada que o fator proporcionalidade permaneça constante, o // que caige uma velocidade de bombeamento constante, ao menos durante a duração de um processo de dessorção.

A integral em (14) é igual à area sob a / curva de dessorção térmica. Se a pressão do sistema é me dida através de um espectrômetro de massa, seu sinal I é proporcional à pressão P. De fato, o que medimos é a cur va I versus T, de forma que (4.14) pode ser reescrita / como:

$$N_{OS} = \mathcal{E}\left(\frac{AKT}{S}\right)^{-1} \int_{0}^{\infty} Idt \qquad (4.15)$$

ou

$$N_{os} = \mathcal{E}\left(\frac{AKT}{S}\right)^{-1} \left(\frac{dT}{dt}\right)^{-1} \int_{0}^{\infty} IdT \qquad (4.16)$$

onde 2 é uma constante instrumental de proporcionalidade entre P e I.

É possivel determinar a cobertura superficial relativa a partir da área sob o pico de dessorção. A cobertura relativa e é a população superficial N_S dividida pela população superficial de saturação N_S^{Max} para/uma dada superfície onde se absorve gás até que haja um ocupação total dos sítios disponíveis para adsorção.

Desta forma,
$$\Theta_{i} = \frac{N_{s}^{i}}{N_{s}^{mex}} = \frac{\int_{0}^{\infty} \mathbf{I}^{i} dt}{\int_{0}^{\infty} \mathbf{I}^{mex} dt} = \frac{A'_{rea}}{A'_{rea}}$$
(4.17)

4.3.2. DETERMINAÇÃO DOS PARÂMETROS CINÊTICOS DE UM ESPECTRO DE DESSORÇÃO TÉRMICA

Se admitimos que a energia de adsorção $E_{\rm d}$ e o fator pré-exponencial ν são independentes da cobertura, podemos determinar estes parâmetros cinéticos. Veremos que para baixas coberturas esta aproximação é válida mas à medida que a cobertura aumenta ela passa a influenciar de forma mais acentuada os valores das energia de ativação de dessorção e do fator pré-exponencial. Neste estudo, nos limitamos às baixas coberturas, onde evitamos a dependencia de $E_{\rm d}$ e ν da cobertura de gás adsorvido.

Assumimos também que não ocorre readsor-/
ção de espécies dessorvidas e nem adsorção e dessorção /
de gases pelas paredes do sistema já que tais efeitos /
são desprezíveis, para condições experimentais adequadas.
De fato, fases diferentes quimissorvem normalmente em or
dem decrescente de suas energias isto é, a fase de mais
alta energia de ativação de dessorção é ocupada em pri-/
meiro lugar, seguida em ordem pelas fases de menor ener
gia. Já durante o processo de dessorção, estas fases /
são dessorvidas em ordem crescentes de suas energias. /
Quando uma fase particular esta dessorvendo, as outras/
de mais alta energia ainda não o fazem e estão com to-/
dos os seus sítios de adsorção já preenchidos, impossi
bilitando a readsorção das espécies que dessorvem.

TEmando a equação 4.2 para velocidades/ de bombeamento muito grandes (T+0) e para uma curva de aquecimento da amostra (eq.4.3) seguindo um programa linear de temperaturas:

$$T = To + \beta t \tag{4.3}$$

o pico do espectro de dessorção ocorre quando a taxa de/ dessorção é máxima e podemos determina-lo fazendo:

$$dR_d/dT = 0$$
.

Portanto, o máximo da curva do espectro de dessorção o-/

$$\frac{d^{R}d}{dT} = \frac{d}{dt} \left(-\frac{dN}{dt} \right) = -\beta \frac{d^{2}N}{dT^{2}} = 0 \quad (4.18)$$

on de

$$\frac{dN}{dT} = -\frac{y_n}{p} N^n \exp \left(-\frac{E_n}{Rt}\right)$$
 (4.19)

Resolvendo a equação (4.18) encontramos que:

$$\frac{E_{d1}}{RT_{m}^{2}} = \frac{\sqrt{1}}{\beta} \exp \left(-E_{d1}/RT_{m}\right) \quad \text{para n=1}$$
 (4.20)

e

$$\frac{E_{d2}}{RT_{m}^{2}\beta} = Nso V_{Z} \text{ exp } (-E_{dZ}/RT_{m}) \text{ para } n=2$$
 (4.21)

onde N_{SO} é a cobertura inicial da superficie para a temperatura máxima do espectro de dessorção T = Tm. A equa ção 4.18 possui validade geral podendo ser resolvida para reações que possuam eventualmente ordem superior a // dois. Ressaltamos que para reações cuja ordem é maior // que um, ou seja n > 1, o máximo do espectro de dessorção T_{m} depende da cobertura inicial de gases adsorvidos N_{O} .

4.3.3. Ordem da reação de um Processo de Dessorção Térmica.

Para determinarmos os parâmetros cineti-/
cos E e v num espectro de dessorção devemos poder deter
minar a ordem n da reação, a partir do próprio espectro/
de dessorção ou por outros métodos que permitam acesso a
este parâmetro.

A ordem(n) do processo de dessorção aparece na equação de arrhenius que é a equação do balanço de massa na superfície da amostra.

quando se mantém β constante e se varia a cobertura inicial de gas adsorvido, para cada espectro de dessorção / o máximo do pico de dessorção se mantém constante com a temperatura para um processo cuja cinetica seja de primeira ordem (n=1) e T_m decresce com a temperatura para / um processo de segunda ordem (n=2), dependendo portanto/ da cobertura inicial (45). Isto seria suficiente para de terminar a ordem da reação se não fosse pelo fato de que quando os parâmetros cinéticos dependem da cobertura, // $E_d = E_d(N_S)$ e $V = V(N_S)$ a, mesmo para um processo de primeira ordem, T_m varia com N_{SO} .

Pela análise da forma do espectro de dessorção tambem temos acesso à ordem do processo de dessor
ção. A comparação das curvas experimentais com as previs
tas teoricamente nos permite decidir sobre a ordem da //
reação (44). A reação de segunda ordem é aproximada a um

cossenchiperbolico, o que facilita a comparação dos espectros:

Existem outros métodos para se determinar a ordem de um processo de dessorção térmica, mas sua utilização fica restrita, a processos onde E_d e V são independentes da cobertura da superfície ou a análise é efetuada para pequenas coberturas superficiais quandos os// parâmetros cinéticos dependem muito fracamente da cobertura (46)

Podemos entretanto determinar a ordem da reação através de informações químicas auxiliares. Se o processo de adsorção e dessorção é molecular a ordem esperada da reação é um (n=1) e para um processo de adsorção dissociativo a ordem esperada é dois (n=2). Podemos/chegar a estas informações monitorando com um espectrôme tro de massa as especies de que dessorvem da superfície.

Este conjunto de metodos é suficiente para determinarmos a ordem da reação.

4.3.4. ENERGIA DE ATIVAÇÃO DE DESSORÇÃO E FATOR PRÊ EXPONENCIAL

Se E_d e V_o são independentes da cobertura V_o e considerando somente os casos usuais onde a ordem da reação é um ou dois, a temperatura V_o na qual a curva da taxa de dessorção apresenta um pico pode ser obtida a // partir das equações (4.20); para V_o para V_o

Reescrevendo estas equições de uma forma // mais adequada obtemos:

$$\frac{\text{In}}{\beta} = \frac{\frac{E_d}{RT_m} + \ln \frac{E_d}{V_1 R} \quad p/n=1 \quad (4.27)$$

e

$$\frac{\ln \frac{2^{T_{m}^{2}} N_{SO}}{\beta} = \frac{E_{d}}{RT_{m}} + \frac{\ln \frac{E_{d}}{2V_{2}R}}{p/n=2}$$
 (4.28)

Vemos que estas equações descrevem um reta Y = ax+b. Se construirmos um gráfico de $Im 1/T_m$ versus $Im (T_m^2/\beta)$ partir de uma série de experimentos onde β é varia do, para uma mesma cobertura inicial de gás adsorvido ,/ obterêmos uma reta cuja inclinação é R/E_0 e la intercepta ra o eixo ordenado em $RIm(R/E_0)$. Portanto, a energia de / ativação de dessorção é encontrada a partir de Ed=R/a o fator pré-experencial V1=1/a exp(b/a). Este tratamento pode ser aplicado para processos de dessorção independentes da ordem da reação (47), ou seja, também é valido para ra n=2, a partir de um gráfico de $1/T_m$ versus $Im (T_m^2/\beta)$. Pâra que se obtenha uma acuidade razoável nos resultados β deve ser variado pelo menos por duas ordens de grande-za (44).

Este método de analise dos dados de uma / experiência de dessorção térmica com curvas de aquecimen to programadas foi proposto inicialmente por Redhead e a ele foram se introduzindo sucessivos melhoramentos. Ele/ permite que determinemos a cobertura relativa de gases / adsorvidos, a ordem da reação, a energia de ativação de dessorção e o fator pré-exponencial. Entretanto, estes / dois últimos parâmetros cinéticos são dependentes da cobertura inicial de gases adsorvidos, fato que não pode // ser negligenciado. Este método é aplicado com bons resultados para cobertura superficiais pequenas.

4.4. EXPERIMENTAL

A forma que a amostra foi montada, os procedimentos de limpeza de sua superfície, medida de temperatura e aquecimento são as descritos anteriormente.

Após caracterizar a amostra por AES e //
LEED ela foi posicionada na mesma linha do espectrômetro
de massa quadripolar , de forma que as espécies que dessorvem de sua superfície chegem através de um menor ca-/
minho ao espectrômetro. O espectrômetro de massa foi man
tido sintonizado na massa molecular do CO. Seu sinal de/
saida I (P) é proporcional á pressão parcial de CO dentro
da câmara de UHV.

Os experimentos com TDS iniciaram sempre/
com pressão base do sitema de UHV em 2x10⁻¹⁰Torr. A velo
cidade de bombeamento do sistema para CO foi 3071t/seg.

Assim , a constante de tempo caracteristica do bombeamen
to , foi suficientemente pequena para utilizarmos o método de Redhead P/t + 0 , onde a taxa de dessorção das/
espécies adsorvidas (CO) torna-se proporcional à sua pres
são parcial.

Antes de obter cada espectro de dessorção permitimos a entrada de um fluxo de CO de alta pureza, / ajustando sua pressão parcial dentro da câmara através / de uma válvula de precisão. A exposição a que a amostra/ é submetida é controlada pela pressão parcial e a dura-/ ção da exposição. Ela é médida em langmuir, onde $1L = 1x10^{-6}$ Torr.seg.

A amostra é aquecida por radiação prove-/

niente de um filamento em espiral de tungstênio, posicio nado atrãs da amostra. A taxa de aquecimento da amostra/ é controlado por um controlador programado de temperatura (8). Dispomos de nove taxas de aquecimento linear (3) diferentes com valores distribuidos em duas ordens de // grandezas.

Obtivemos dois tipos de conjuntos de es-/
pectros de dessorção. No primeiro deles, fixamos uma ta
xa de aquecimento intermediária e variamos a exposição /
de CO que a amostra é submetida , indo desde cobertu as/
fracionárias até a cobertura de saturação de CO para a /
face orientada em estudo. A cobertura de saturação é alcançada quando não ocorrer mais alterações no espectro /
de dessorção.

Este experimento permite-nos determinar o numero dos estados de adsorção e para qual cobertura eles são populados. Também podemos inferir a ordem de reação.

Qão é obtido com intuito de aplicar o método de Redhead/
aos resultados, de forma obter a energia da dessorção e
o fator pré-exponencial para um determinado estado de -/
dessorção. Neste caso, escolhemos uma determinada exposição de CO (em Langmuim) que seja suficientemente pequena
para a aplicação do método de análise de Redhead. Para /
esta exposição, obtemos vários espectros de dessorção, /
cada um deles com taxa de aquecimento da amostra diferente. A partir da temperatura do máximo de dessorção e da/
taxa de aquecimento, para cada curva, podemos graficar /
1/T_x In (T²_m /β) de forma a obter E_d=R/a ε ν://aexp(b/a)
onde R = 1.987 (cal/moleγK, a é a inclinação da curva e

🖢 suas intersecção com o eixo y .

Este método permite que determinemos o fator pré-exponencial diretamente dos dados experimentais. Isto nos exime de ter que assumir um valor arbitrário/para v para que possamos determinar a energia de ativação de dessorção, que é dependente do valor do fator pre-exponencial.

Em todas as exposições CO que foram submetidas as amostras estudadas, elas se encontravam à tem peratura inicial de 300°K.

Estudamos através TDS duas faces orientadas, (110) e (111) da liga Pt.98 Cu.02. A face orientada/
na direção (110) foi estudada em três diferente. Uma, com
sua composição de equilibrio, quando apresenta uma estru
tura cristalina de superfície 1x3 e uma composição de Cu
na superfície de 8% at. Segundo, após "Sputtering", quando
há uma remo ção preferencial de Cu da superfície, resul
tando uma superfície que podemos considerar "pura" den-/
tro dos limites de detecção dos AES e apresentando uma /
geometria de supefície 1x2. Por último, a face (110) foi
estudada quando sua composição era de equilibrio, mas
apresentando Si em sua superfície, segregado do volume.
A face orientada na direção (111) foi estudade em sua //
composição de superfície de equilíbrio.

4.5. RESULTADOS.

Alguns espectros de dessorção térmica em/
função da cobertura de Co adsorvido em Pt (110) pura,
obtidos por Comrie e Bonzel, são mostrados na figura 4.1
Em ambos os espectros (a e b) a temperatura do cristal /
durante a exposição foi mantida em 320 K . No primeiro /
caso (a) a taxa de aquecimento β foi igual a 139K/Seg. /
(39) e no segundo (b) igual a β=6,79K/seg(49).

Um conjunto representativo de nossos es-/ pectros de dessorção térmica de CO/Pt $_{.98}$ Cu $_{.02}$ (110) 1x3 limpa estão apresentados na figuras 4.2 e 4.3. Na figura 4.2 mostramos um conjunto de espectros de dessorção / onde mantivemos constante a taxa de aquecimento da amostraem um valor β = 22,39C/Seg e variamos a exposição de/C), desde o.1L até a cobertura de saturação igual a 9.1L

Constatamos a existência de dois estados/
de dessorção para CO/Pt_{.98} Cu_{.02} (110) 1x3. O primeiro /
estado de dessorção (\$\beta\$) aparece desde pequenas cobertura
de CO adsorvido sobre a superfície enquanto que o segundo (\$\times\$), com temperatura do máximo de dessorção menor que
o primeiro, aparece somente para altas coberturas, quando a cobertura relativa atinge cerca de 50% da cobertura
de saturação. A origem do segundo estado de adsorção é //
controversa, como se constata na literatura, onde não se
chegam a um acordo se este estado tem sua origem em efei
tos interacionais, entre as moléculas adsorvidas ou são
oriundos de dois sítios de adsorção diferente.

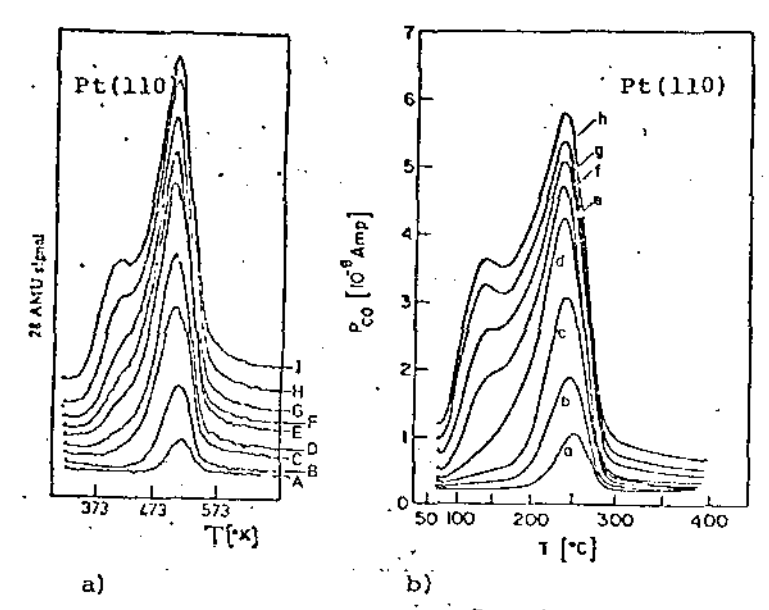


FIGURA 4.1 Espectro de dessorção térmica programada após adsorção de CO a 3209K sobre a super fície Pt(110) pura. a) taxa de aquecimento de 6.79/seg; exposições (L) a).1, b).3, c).6, d)1.3, e)2.6, f)5.2, g)13, h)26.
b) taxa de aquecimento de 139/seg; exposições (L) A).1, B).3, C).65, D).9, E)1.25, F)1.5, G)1.8 H)2.4, I)3.6.

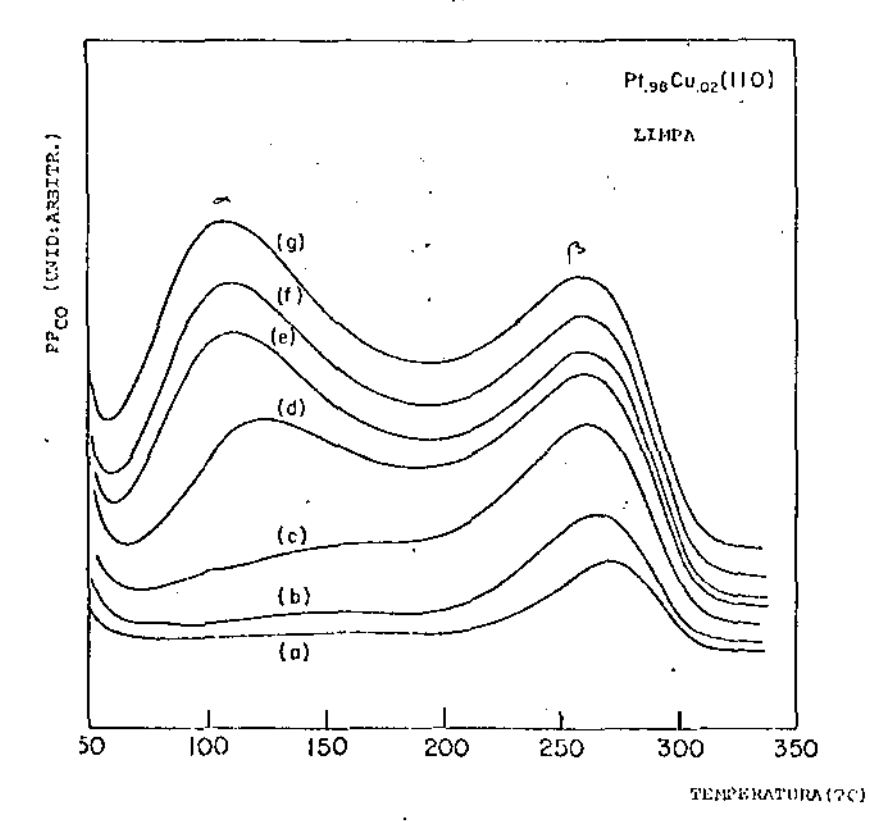


FIGURA 4.2 Espectros de dessorção térmica programada de CO adsorvido sobre a superfície Pt.98^{Cu}.02 (110)1x3. As exposições (em Langmuir) são : a)0.1, b)0.2, c)0.4, d)0.9, e)1.8, f)4.5, g)9.1. A taxa de aquecimento foi \$-22.32C/seg.

Observamos uma notavel inversão da popula ção relativa de CO dessorvido dos dois estados de dessor ção quando comparamos os resultados que obtivemos para a liga Pt.98 Cu.02 (110) com os que foram obtidos para a / Pt(110) pura. Para a cobertura de saturação a população/relativa de CO nos dois estados de quimissorção, dado // por \$\beta/\infty\$, \(\tilde{e}\) de 0.9 para a Pt.98 Cu.02 (110) e de 3.0 para a Pt(110) pura. Esta inversão de pupulação dos estados de quimissorção \(\tilde{e}\) devido à presença de cobre na superficie do cristal.

Até se atingir a cobertura relativa na //
qual o estado \propto começa a ser populado, o máximo de des-/
sorção do estado $\beta(T_{m_{\beta}})$, deloca-se continuamente para bai
xa temperatura com o aumento da cobertura. A partir da /
uma cobertura θ \sim .5 o máximo dedessorção do estado β permanece constante.

As temperatura nas quais os estado de Quimissorção per em apresenta um máximo são em 533K e em 380 K, respectivamente, correspondente à cobertura de satura ção de CO. A Temperatura ambiente, CO adsorve predominan temente sobre os sitio de Pt enquanto que a baixa temperatura os sítios envolvendo cobre também são ocupados / (12). Isto se dá devido á grande diferença entre as energias de quimissorção do CO sobre a Pt e o Cu puros.

A ordem do processo de dessorção do estado β de CO/Pt.98 Cu.02 (110) é n=1 como verificado através da formadas picos TDS e pelo monitoramento das espécies que dessorvem que é somente CO molecular. Entretanto, como já notamos, o máximo dos picos de dessorção do estado \$\beta\$, se deslocam gradualmente para temperaturas // mais baixa com o aumento da cobertura. Este fenômeno mos tra uma dependência característica da energia de adsor-/ção e do fator pré-exponencial com a cobertura de gases/ adsorvidos. Isto impossibilita a aplicação do modelo Redhead para altas coberturas. Taylor trata extensamente o problema da dependência dos parâmetros cinéticos com a / cobertura (51).

cão térmica de CO em Pt_{.98} Cu_{.02} (110) em baixa coberturas de CO. Desta forma podemos utilizar o tratamento & de Redhead, poisadependência de V e E_d com a cobertura é mínima. Na figura 4.3 vemos conjuntos de espectros de dessorção térmica de CO para uma exposição de CO de O.LL Estes espectros de dessorção térmica foram efetuados em/função da taxa de aquecimento que entre 3.2 até 44.59C/seg.

Usando as equações derivadas do modelo de Redhead com o implemento de β variável, fizemos o gráfico (figura 4.4) de 1/T x ln (T_{-}^{2}/B) que nos permitiu en-/contrar, para Co/Pt_{.98} Cu_{.02} (110) 1x3, um fator pré-exponecial $\nabla = 2 \times 10^{19}$ seg⁻¹ e energia de ativação de dessorção de CO E_d = 55 Kcal/mol.

Repetimos este estudo para esta mesma face, após tela bombardeada com fons de argônio. O"sputtering" remove preferencialmente o Cu, deixando uma super

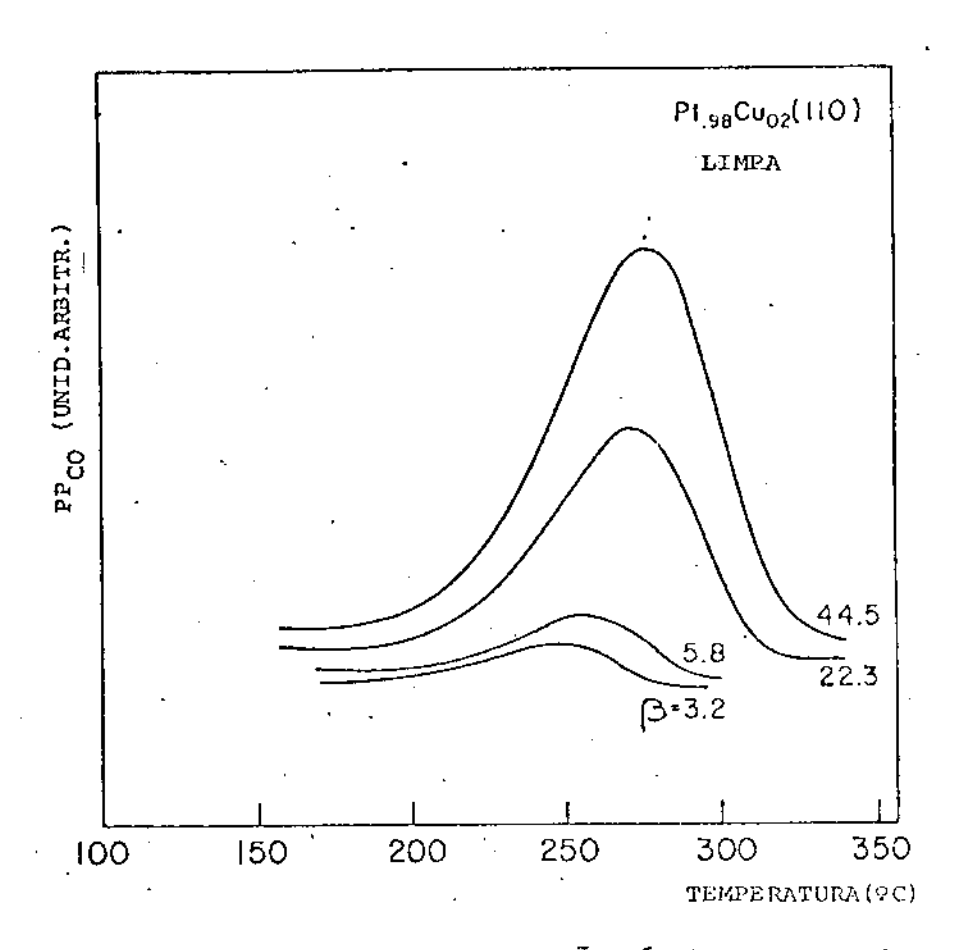


FIGURA 4.3 Espectros de dessorção térmica programada de CO adsorvido sobre a superfície Pt_{.98}Cu_{.02} (110)1X3. A exposição foi de 0.1L (Fig. 4.2 a) e taxas de aquecimento variável entre 3.2 até 44.5 9C/seg.

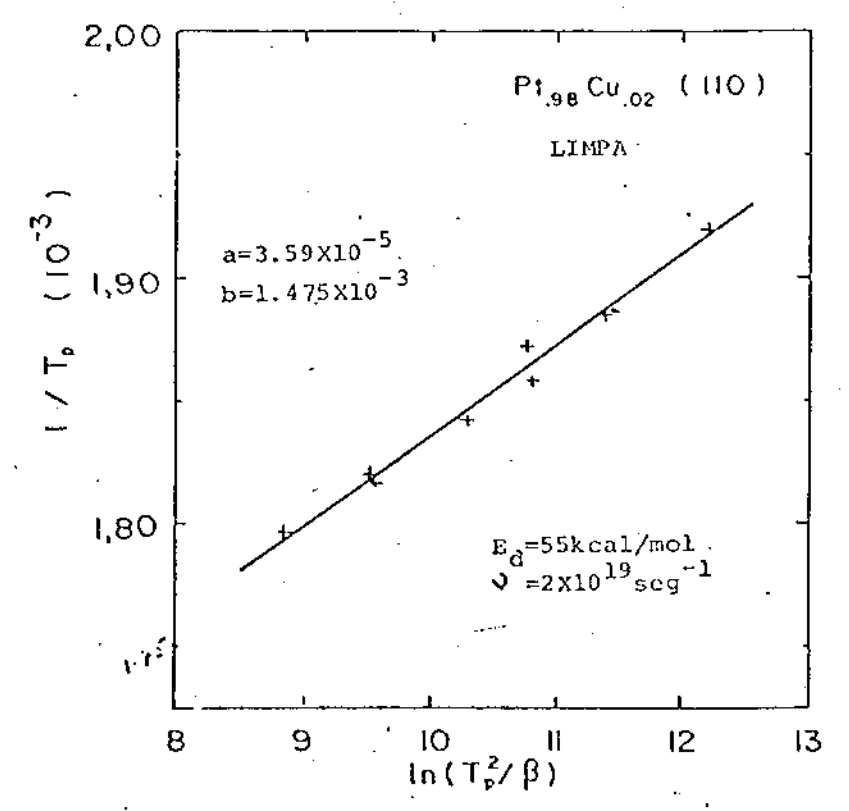


FIGURA 4.4 Gráfico de 1/T X $\ln(T^2/\beta)$ para $CO/Pt_{.98}Cu_{.02}(110)$ com os dados da Fig. 4.3 .

fície de Pt(110) quase pura. Após rápido amealing, efetuamos várias exposições de CO (de 0.445L até 9.0L) e obtivemos os espectros de dessorção para cada uma das / exposições com uma única taxa de aquecimento (B=26.79C/Seg.) Os resultados desta estudos estão apresentados na figura 4.5. Observamos claramente que as populações relativas dos dois estados de quimissorção aproximam-se à / da Pt(110) pura (figura 4.1), o que era de se esperar / pela espectroscopia Auger, va superfície da amostra esta va livre de Cu. Ainda mais, com LEED observamos a geometria da superfície e constatamos ser igual à da Pt.pura/ ou seja 1x2. Isto evidencia a influencia do Cu naocupação relativa dos sítios da adsorção.

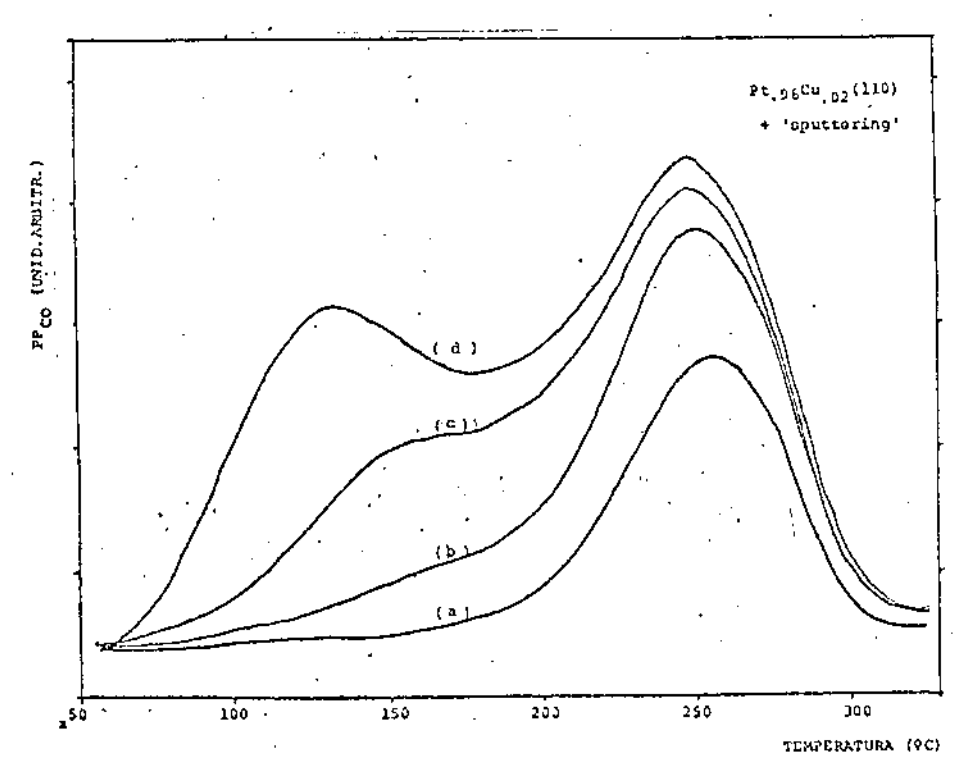


FIGURA 4.5 Espectros do TDS de CO/Pt_{.98}Cu_{.02}(1109 logo após 'sputtoring'.

As exposições foram do (em L): a)0.45, b)6.9, c)1.8, d)9.0.

A taxa de aquecimento foi β=26.7?C/seg.

Para esta face, Pt_{.98} Cu_{.02} (110) 1x2 apos "sputtering", obtivemos um conjunto de espectros de / dessorção térmica onde mantivemos constante a exposição de CO (0.1D) em função da taxa de aquecimento da amostra (Fig. 4.6) que variou de 1.3 até 30.69C/seg? Com os resultados des te experimento, utilizando as equações derivadas por // Redhead, graficamos 1/T x 1n (T²/B)(figura 4.7) que nos/ permite determinar o fator pré-exponcial V=1.6x10¹⁷ seg¹ e a energia de ativação de dessorção E_d=41Kcal/mol, para a dessorção de CO de CO/Pt_{.98} Cu_{.02}(110)1x2 + Sputtering.

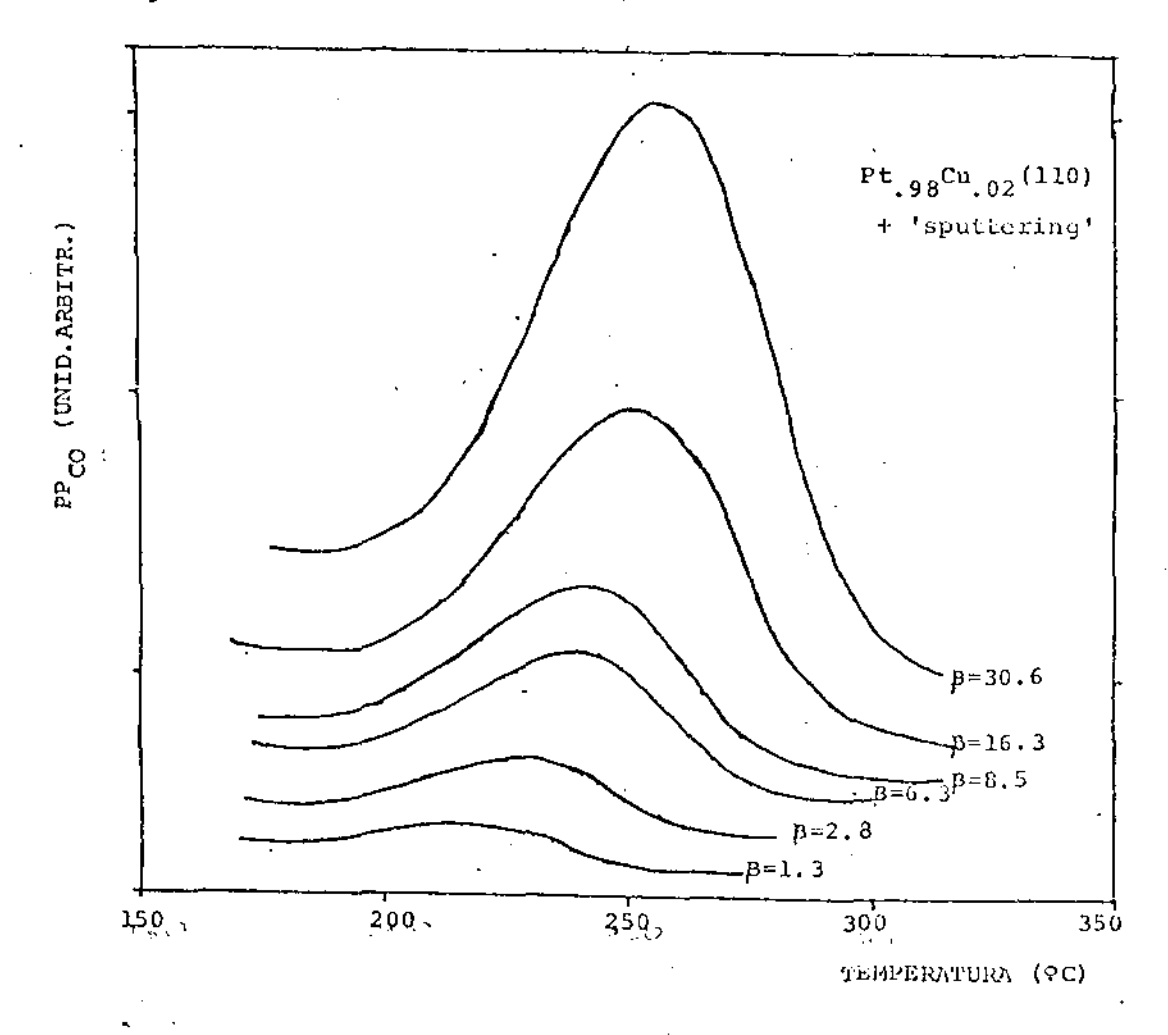


FIGURA 4.6 Espectros de TDS de CO/Pt_{.98}Cu_{.02}(110)+sputtering.
A exposição foi de 0.1L e taxas de aquecimento va-. v
riável entre 1.3 até 30.6 9C/seg.

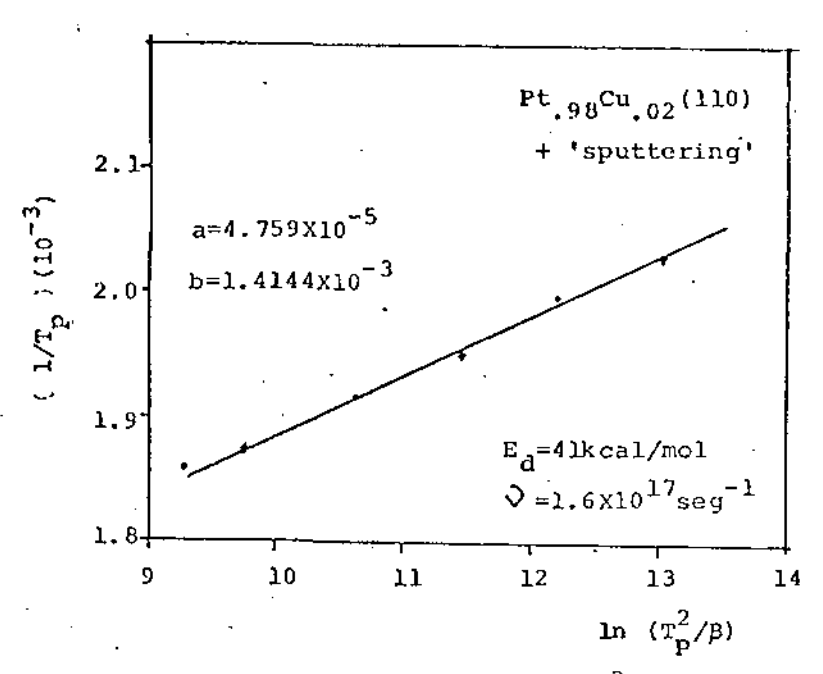


FIGURA 4.7 Grafico de 1/T X ln(T²/B) para CO/Pt_{.98}Cu_{.02}(110)+sputtering com os dados da Fig. 4.5 .

A superfície (110) da Pt_{.98} Cu_{.02} apre-/sentou-se com traços de Si após ter sido submetida a um/tratamento térmico por 6 horas a 800°C (figura 2.13) A geometria desta superfície foi 1x2 e a composição a de/equilibrio.

Estudamos a dessorção de CO desta superficie em função da taxa de aquecimento da amostra (de2.3 até 25°C/Seg.) para uma exposição de CO constante igual/ (Fig. 4.8) a 0,15 L^A A partir da temperatura dos máximos de dessor-/ ção destes espectros graficamos 1/T x In (T²/β), como podemos ver na figura 4.9. Encontramos um fator pre-expor/ nancial $\hat{V}=3.9 \times 10^{13} \ {\rm seg}^{-1}{\rm e}$ energia de ativação $E_{\rm d}=34$ Kcal/mol. A presença de Si na superfície abaixa consideravelmente o fator pre-exponencial e a energia de ativação de dessorção.

Os mesmos estudos foram realizados para a superfície Pt_{.98} Cu_{.02} (111) lxl, não apresentando resultados diferentes daqueles observados na literatura, para/a Pt(111) pura.

Na figura 4.10 mostramos os espectros de/dessorção obtidos por NORTON (60) para a Pt(111) pura. Nossos resultados de dessorção de CO de CO/Pt_{.98} Cu_{.02} / (111) em função da exposição de CO são mostradas na figura 4.11. Para a exposição de 0.2 L obtivemos espectros de dessorção em função da taxa de aquecimento da amostra / (figura 4.12), que variamos de 1.9 até 22.2 9C/seq.

Para estes resultados determinamos (figura 4.13)o fator pre-exponcial e a energia de ativação de // dessorção ancontrando $\hat{V}=1.7 \times 10^{15}$ Kcal/mol e E $_{
m d}^{\pm}$ 31K cal/mol.

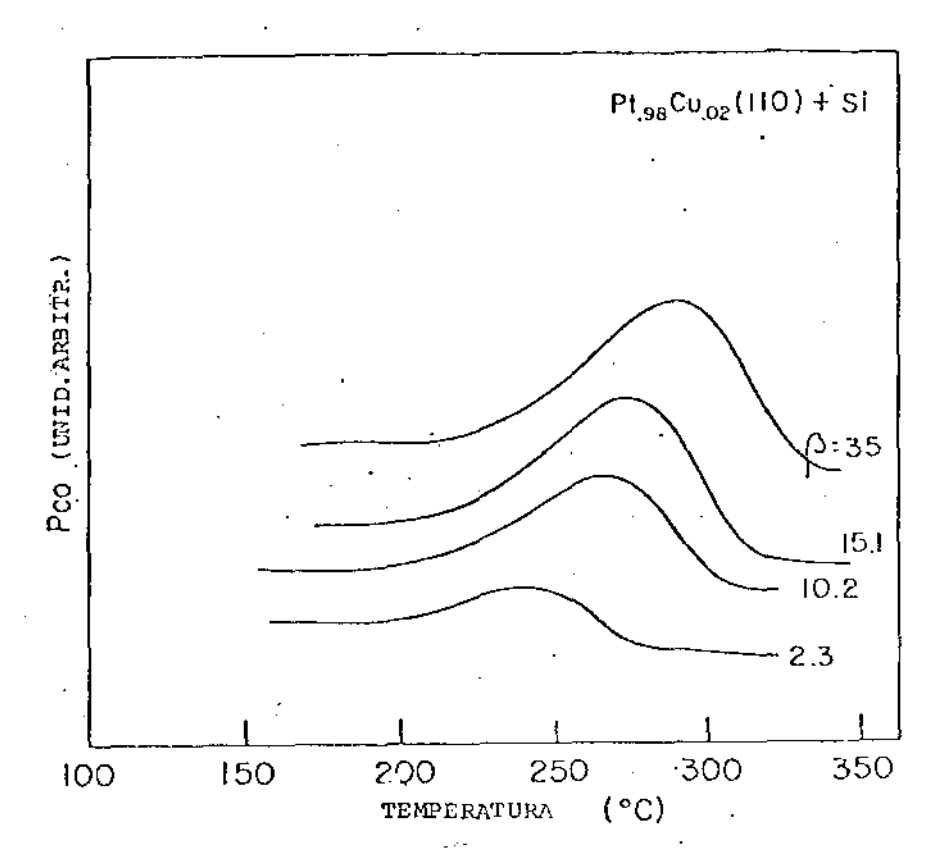


FIGURA 4.8 Espectros TDS de CO/Pt_{.98}Cu_{.02}(110)+Si.
A exposição foi de 0.15 L e taxas de aquecimento variável entre 2.3 até 35 °C/seg.

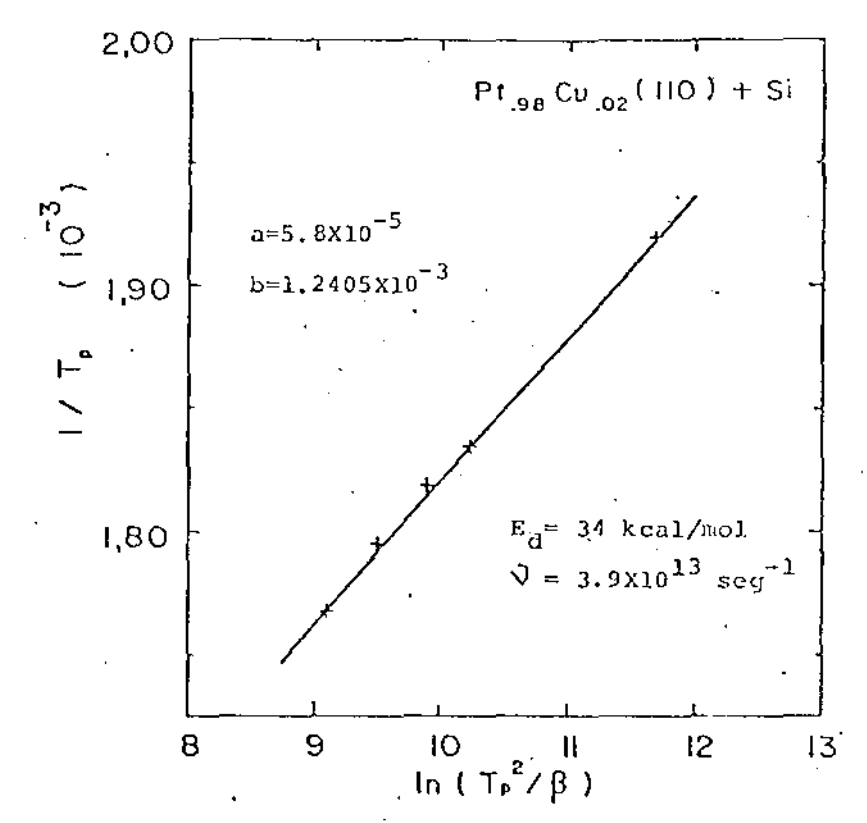


FIGURA 4.9 Gráfico de $1/T \times \ln(T^2/\beta)$ para $CO/Pt_{.98}Cu_{.02}(110) + Si$ com dados da Fig. 4.8 .

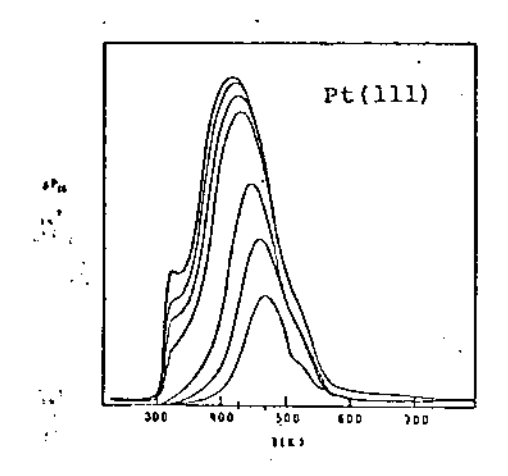


FIGURA 4.10 Espectros de TDS de CO/Pt(111) adsorvido a 298K, como função da cobertura para uma taxa de aquecimento \$\beta=129K/\seg\$. Cobertura inicial, em ordem crescente, \$\Delta=06\$, .1, .19, .33, .38, .41 e .43 .

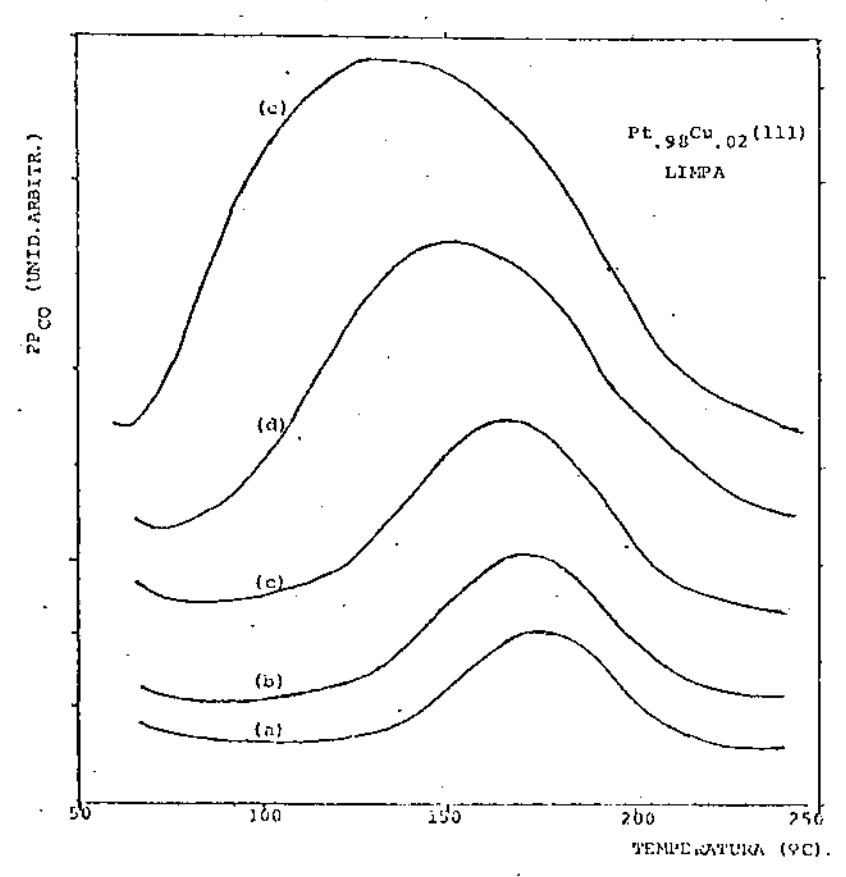
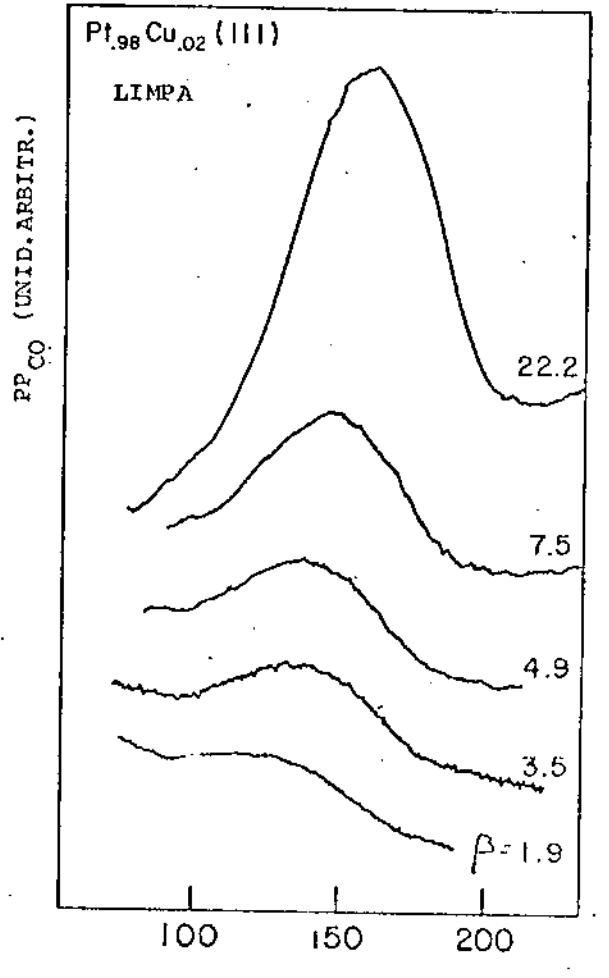


FIGURA 4.11 Espectros de TDS de CO/PC 98Cu 02 (111) 1X1.

As exponições (em L) foram a)0.1, b)0.2,
c)0.23, d)0.46, c)0.9. A taxa de ajuecimento foi B=26.7 9C/seg.



TEMPERATURA (9C)

PIGURA 4.12 Espectros de TDS de CO/

Pt.g8Cu.02(111). A exposição foi 0.2 L e taxas
de aquecimento variável
entre 1.9 até 22.2 9C/seg.

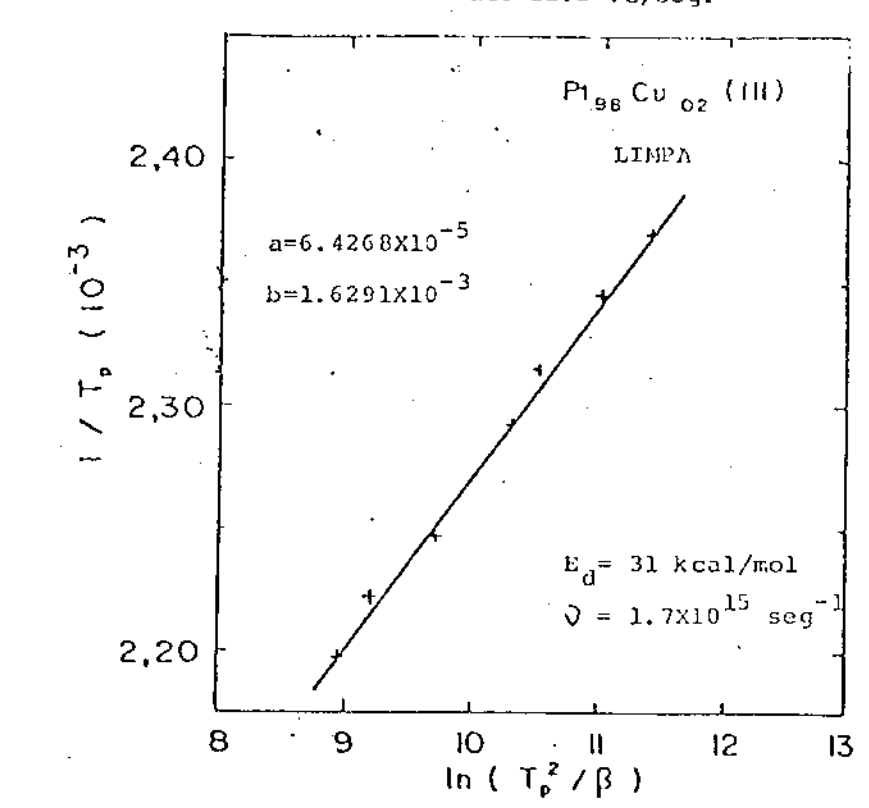


FIGURA 4.13 Gráfico de 1/T X ln(T²/β) para CO/Pt_{.98}Cu_{.02}(111) com os dados da Fig. 4.12

5. ANÁLISE DOS DADOS.

Os resultados obtidos do estudo de dessor ção de CO adsorvidos sobre Pt_{.98} Cu_{.02} (110) utilizando/como técnicas de análise TDS, LEED e AES, apresentam al-/gumas diferenças notáveis com respeito âqueles efetuados em Pt(110) pura. Os estudos efetuados sobre a mesma amostra bimetálica, mas com orientação de sua face na dire-/ção (111), não apresentou diferenças significativas com/respeito à Pt(111).

A analise dos elementos de superfícieefetuadas nesta (111) com a espectroscopia Auger face revelou pouca segregação preferencial do cobre para a superficie, em acordo com resultados de Shek (1). Encon-/ tramos uma composição de cobre na superfície pouco superior à do volume da amostra, que je de 2%. Os estudos / de Langeveld e Ponec (2) realizados em ligas Pt-Cu mos-/ tram que a segregação de cobre para a superfície da amos tra é menor que a tradicionalmente esperada a partir de considerações termodinâmicas. A superfície (111) também/ não apresentou Si segregado do volume para a superfície Sua geometria de superfície, caracterizada por LEED é a/ mesma da Pt(111) pura, ou seja, apresenta um diagrama de difração lx1, que é a estrutura caracteristica de volume deste metal. Esta estrutura de superfície manteve-se -// apos adsorção de CO à temperatura de 3009K. A dessorção/ de Co desta superfície não apresentou resultados rentes dos encontrados na literatura. O valor de T_m , a / temperatura do máximo de dessorção, decresceu acentuadamente com o aumento da exposição e a meia largura do pico crece de 40°C até 100°C para a cobertura de saturação. Estes mesmos resultados foram observados por Norton que, entretanto assumiu um fator prê-exponcial $\mathcal{V}=10^{13} \mathrm{seg}^{-1}$ para o calculo de energia de ativação de dessorção. En-/contramos experimentalmente o valor do fator pré-exponcial, precisando seu valor em $\tilde{\mathcal{V}}=1.7 \mathrm{x} 10^{15} \mathrm{seg}^{-1}$. Encontramos uma energia de ativação de dessorção para a Pt_{.98} Cu .02 (111) de E = 31Kcal/mol, para exposição de CO de 0.2L Estes resultados estão em acordo com os obtidos por Collins e Norton. Entretanto estes autores utilizaram uma / única taxa de aquecimento de amostra e assumiram que o / fator prê-exponencial possui valor igual a $10^{13} \mathrm{Seg}^{-1}$, / diferente do valor que determinamos.

Encontramos que ligas de Pt-Cu com concentração atômica de 2% de Cu e 98% de Pt apresentam segregação de Si e Cu do volume para a superfície dependente da orientação cristalina da face estudada. Como já dissemos/a face (lll) desta liga não apresentou segregação de Si para sua superfície, detectável por AES. Ainda, sua composição de equilibrio de superfície foi a mesma da composição de volume, não ocorrendo segregação preferencial de Cu para a superfície.

O mesmo não aconteceu para a superfície / orientada na direção (110). Esta face apresentou traços / de Si quando foi submetida a tratamentos térmicos. Sua / composição de superfície de equilíbrio mostrou-se enri-/ quecida de Cu, até 8% at, conforma detectado por AES.

Isto mostra uma dependência na orientação cristalográfica para a segregação superficial de Cu. Quando falamos / em concentração superficial de Cu, dada por AES, subtende-se uma concentração média de Cu nos 15Å que corres-/ pondem à profundidade de amostragem efetiva para AES, ou seja, em torno de 6 camadas atômicas. A concentração de/ cobre na última camada atômica pode ser bem maior que es tes resultados.

A presença do cobre na liga Pt-Cu orienta da na direção (110) alterou drasticamente a geometria de superfície, conforme constatamos por LEED. A face (110)/ apresentou diagramas de difração 1x3, ao contrário da Pt/ (110) cuja superfície reconstruida apresenta um diagrama de difração 1x2. A superfície (110) da liga mantém a geometria 1x3 estável enquanto for mantida limpa e à temperatura ambiente.

Quando a superfície (110) de liga Pt-Cu / esta contaminada com Si segragado do volume da amostra / para sua superfície, ela reconstroi-se voltando a apresem tar uma geometria de superfície lx2. Encontramos esta mes ma geometria quando esta amostra é submetida a bombardeamento de ions de argônio e subsequentemente um rapido "- anealing". Como é removido preferencialmente quando a // amostra é submetida e "sptuttering", fazendo com que a su perfície aproxíme-se à da Pt(110) pura. Este efeito também é constatado por LEED, ja que após a remomção do Cu/ da superfície da amostra, observamos em diagrama de di-/ fração característico da Pt(110) pura.

A energia de ativação de dessorção e o fator pre-exponen cial, obtidos dos espectros de dessorção térmica programada de CO adsorvido a 300K e a baixas coberturas, da face (110) limpa da Liga Pt_{.98} Cu_{.02} são bastante diferentes dos obtidos para a Pt(110) pura. A partir de nossos/ dados determinanmos o valor do fator pre-exponencial para baixa cobertura encontrando um valor de 2x10¹⁹seb⁻¹. A energia de ativação de dessorção para o único estado / em baixa cobertura é igual a 55 Kcal/mol. Este valor é sensívelmente mais elevado dos valores encontrados(10,49 53,39) para a Pt(110) pura, que se situam entre 30 e 35 kcal/mol. Entretanto eles foram celculados a partir de / um valor do fator pré-exponencial (10¹³ - 10¹⁵seg⁻¹) assumido arbitráriamente, ao invés de determina-lo experimentalmente. Mais ainda, é comunente negligenciada a de pendencia de E $_{
m d}$ e $^{
m Q}$ com a pobertura de CO adsorvido . O calculo de E $_{d}$ é efetuado utilizando o formalismo de Redhead que não é válido quando os parametros de dessorção / dependem da cobertura. Évitamos estes incovenientes estu dando somente os estados de dessorção populados em baixa cobertura. Observamos que os valores elevados dos parâme tros de dessorção E $_{d}$ e $\overline{\mathbf{v}}$ encontrados para a face (110) / limpa, se devem não somente devido à presença de Cu na / superfície do cristal, mas também a efeitos geométricos/ jā que a Pt_{.98} Cu_{.02} (110) apresenta uma superfície reconstruda com geometria 1x3.

Encontramos para a superfície (110) após/
"Sputtering", a qual pode ser considerada como Pt(110) /
pura, uma energia de ativação de dessorção E_d=41Kcal/mol
e um fator, pré-exponencial V= 3.9x10 17 seg⁻¹.

Estes resultados são superiores aos obtidos na literarura, Quando a superfície (110) apresentava Si em sua su-/
perfície, a análise dos espectros de dessorção térmica /
mostrou que a energia de ativação de dessorção foi rebai
xada para E_d= 34Kcal/mol. e o fator pré-exponencial para
V=3.9x10¹³ seg⁻¹. Observamos Claramente que a presença /
de impurezas sobre a superfície, no caso Si, altera dras
ticamente os parâmetros de dessorção.

6. CONCLUSÕES

Estudamos a dessorção de CO de superfícies orientadas nas direções critalográficas (110) e (111) da liga monocristalina Pt_{.98}Cu_{.02} em condições de UNV e com técmicas sensíveis à superfície. Os experimentos foram efetuados com a dessorção térmica programada (TDS), a espectroscopia de elétrons Auger (AES) e a difração de elétronde baixa energia (LEED).

A concentração atômica de volume da liga monocristalina homogênea é de 2% de Cu e 98% de Pt. A face (110) apresentou segregação preferencial de cobre para a superfície. Sua composição de equilíbrio é de 8% at. de Cu na superfície. Esta face também mostrou uma pequena segregação de Si para a superfície (cerca de 1% at.). A face orientada na direção (111) manteve sua composição de superfície praticamente igual à de volume, ou seja, 2% at. de Cu na superfície. Esta face não apresentou segregação de Si.

A superfície (110) da Pt é conhecida por apresentar estrutura de superfície diferente da de volume, ou seja, reconstruida com a geometria 1X2. Encontramos que a face (110) da liga Pt.98Cu.02 recontroise apresentando uma geometria 1X3. Esta face exposta à adsorção de CO até a cobertura de saturação não apresentou um diagrama LEED identificavel. A face (110)

contaminada com Si voltou a apresentar uma geometria de superfície 1X2. Esta mesma face quando exposta a bombardeamento de fons sofre remoção preferencial do Cu fazendo com que sua superfície fique igual a uma amostra de Pt quase pura. Esta superfície apresenta um diagrama LEED 1X2, que é característico da superfície da Pt(110) pura. A superfície (111) da liga Pt.98Cu.02 apresentou um diagrama LEED 1X1, característico da Pt (111) pura , significando que sua superfície apresenta a mesma estrutura cristalina de volume, não havendo reconstrução desta superfície.

A dessorção térmica programada de CO adsorvido à temperatura ambiente sobre a face (110) mostrou a existência de dois estados de adsorção para este sistema. Um deles, o mais ligado, aparece desde baixas coberturas. O segundo, de menor energia de ligação, começa a ser populado quando a cobertura relativa de CO atinge o valor de cerca de 0.5 monocamada. O estado de menor energia possui uma ocupação relativa maior que do estado de maior energia de ligação, ao contrário do que ocorre com a Pt(110) pura.

Através dos espectros de dessorção no limite de baixas coberturas, encontramos o fator préexponencial e energia de ativação de dessorção para as várias condições nas quais foram estudadas a face (110). Para a face (110) limpa encontramos que $^\circ$ = 2 x 10 19 s $^{-1}$ e E_d = 55 kcal/mol. Para a face (110) contaminada com si $^\circ$ = 3.9 x 10 13 s $^{-1}$ e E_d = 34 kcal/mol. Para esta face após 'sputtering' e rapido 'annealing'

 $\sqrt{10^{17}} \, \mathrm{s^{-1}} \, \mathrm{e} \, \mathrm{E_d} = 41 \, \mathrm{kcal/mol}$. A face (111) da Pt.98Cu.02 possui um único estado de dessorção quando a adsorção de CO é efetuada à temperatura ambiente. A partir dos espectros de dessorção térmica em função da taxa de aquecimento da amostra, no limite de baixas coberturas, encontramos para a face (111) que seu fator pré-exponencial é $\sqrt{10^{15}} \, \mathrm{s}^{-1}$ e sua energia de ativação de dessorção de CO é $\mathrm{E_d} = 31 \, \mathrm{kcal/mol}$.

7. REFERÊNCIAS

- 1. TE Madey et al.
 Surf. Sci. 48, 304 (1975)
 e referencias contidas
- 2. JJ Mac Carroll
 Surf. Sci. 53, 297 (1975)
- HP Bonzel et al.
 Surf. Sci. 117, 639 (1982)
- 4. TE Madey et al.
 Jap.J.Appl.Phys.Suppl.2,Pt.2,229(1974)
- GG Kleiman et al.
 Sol. State Commun. 32, 919(1979)
- 6. MJ Kelly et al.
 J.Vac.Sci.Technol. 16,664(1979)
- F Toolenaar et al.
 J.Catal.,64,110(1980)
- 8. HC de Jongste et al.
 J.Catal.,63,389(1980)
- 9. GG Kleiman et al.
 Phy.Rev.,B,23,7,3177(1981)
- 10. ML Shek
 Tese Ph.D., Stanford(1982)
- 11. VS Sundaram
 Proc. 19 Cong.Brasil.Catalise, IBP, RJ, 1981
- 12. VS Sundaram et al.
 Surf.Sci.,145,223(1984)
- 13. R. Landers
 a ser publicado

- 14. Berry et al.
 Physical Chemistry
- 15. V Ponec
 Catal.Rev.Sci.Eng.,41,40(1975)
- 16. GA Somorjai
 Chemistry in Two Dimensions-Surfaces
 Cornell University Press, 1981
- 17. GA Somorjai
 Principle of Surface Chemistry
 Pentice-Hall, Inc, 1972
- 18. Ed.:NB Hannay

 Treatise on Solid State Chemistry

 Plenum-Press, 1976
- 19. RL moss et al.
 Adsorption and Catalysis on Evaporated Alloy Films
- 20. Esta bomba foi construida em nosso laboratório pelo prof. R. Landers.
- 21. JD Rogers et al.

 Proc.19 L.American Colloq. on Surface Physics
 Niteroi, Brasil, 1980
- 22. S Ferrer et al.
 Surf.Sci.,119,234,(1982)
- 23. TE Jackman et al.
 Surf.Sci.,120,389(1982)
- 24. M Akhtar et al.
 Trans.Farad.Soc.,67,2461(1971)
- 25. JH Sinfelt
 Adv.Catal.,23,91(1971)

- 26. PG van der Plank et al.
 J.Catal.,12,35(1968)
- 27. JT Kummer

 J.Catal., 38,166(1975)
- 28. Eds.: RB anderson et al.

 Experimental Methods in Catalytic Research
 Academic Press, 1976
- 29. CC Chang Surf.Sci.,25,53(1971)
- 30. Ed.: N Ibach

 Electron Spectroscopy for Surface Analysis

 Springer-Verlag, 1977
- 31. HE Bishop et al.
 J.Apl.Phys., 40,1740(1969)
- 32. PW Palmerg et al.

 Handbook of Auger Spectroscopy, 1972
- 33. Ed.:Perkin Elmer Physical Eletronics
 Handbook of AES
- 34. ML Shek et al. Surf.Sci.,134,399(1982)
- 35. AD van Langeveld et al.
- 36. HB Lyon et al.
 J.Chem.Phys., 49,7,2539(1967)
- 37. HP Bonzel et al.
 Surf.Sci.,118,L263(1982)
- 38. RM Lambert surf.Sci., 49,325(1975)

- 39. KM Comrie et al.

 JChem.Soc.Far.Trans.I,7,1659(1976)
- 40. S ferrer et al.

 Adv.Catal.,28,2(1979)
- 41. DA King Surf.Sci., 47,384,(1975)
- 42. G Wedler

 Chemissorption: An Experimental Approach
 Butterworths, 1976
- 43. Ed.:R Gomer
 Interactions on Metal Surfaces
 Springer-Verlag,1975
- 44. PA Redhead
 Vacuum, 121, 203 (1962)
- 45. PA Redhead et al. Surf.Sci.,1,360(1978)
- 46. G Thelich
 J.Appl.Phys., 32,4(1961)
- 47. FM Ford et al.
 Surf.Sci., 43, 173(1974)
- 48. R.Landers
 a ser publicado
- 49. HP Bonzel et al.
 J.Chem.Phys.,58,10,4617(1973)
- 50. PR Norton et al. Surf.Sci.,83,189(1979)
- 51. JL Taylor Ph.D Thesis, Caltec, 1979

- 52. DM Collins et al.
 Surf.Sci.,69,85(1977)
- 53. J Fair et al.
 J.Chem.Phys.,73,7,3480(1980)